

CLIMATIZZAZIONE, FER E MATERIALI A CAMBIO DI FASE

14 dicembre 2021

Geotermia e PCM

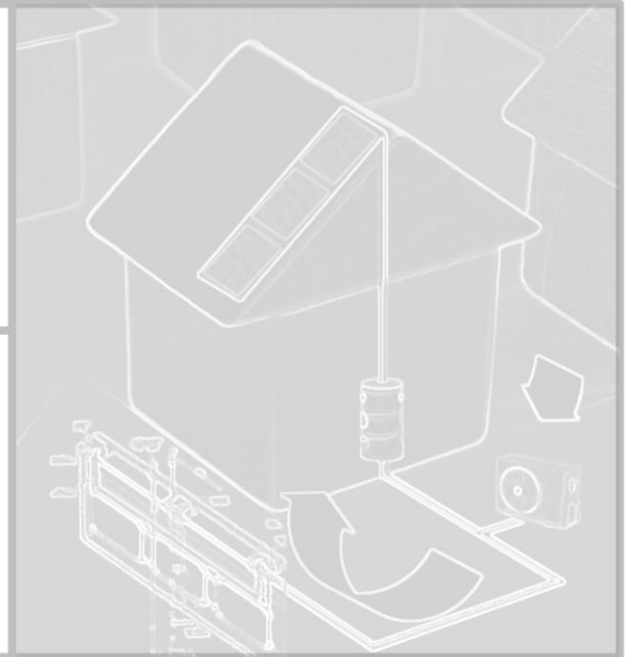
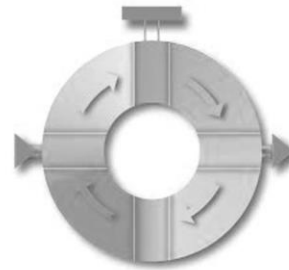
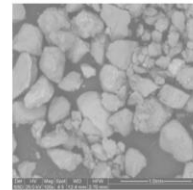
- motivazioni dell'accoppiamento
- impianto sperimentale
- risultanze sperimentali

Michele Bottarelli

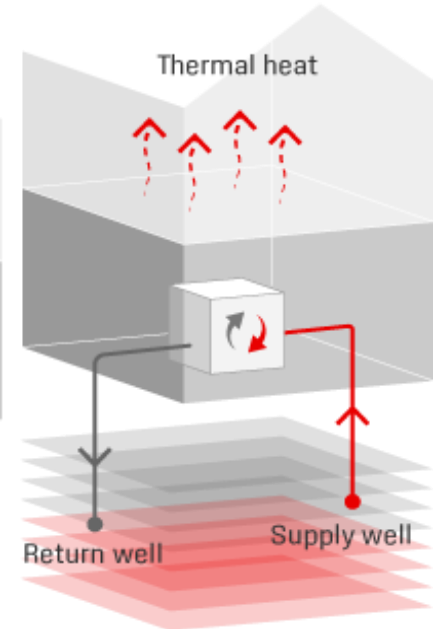
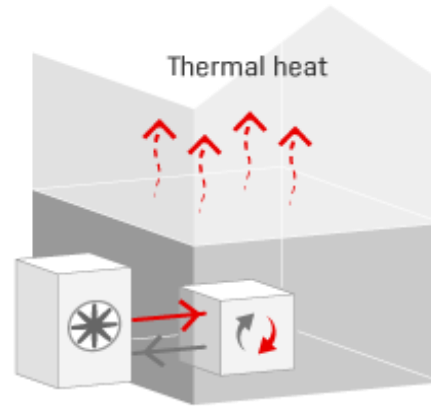
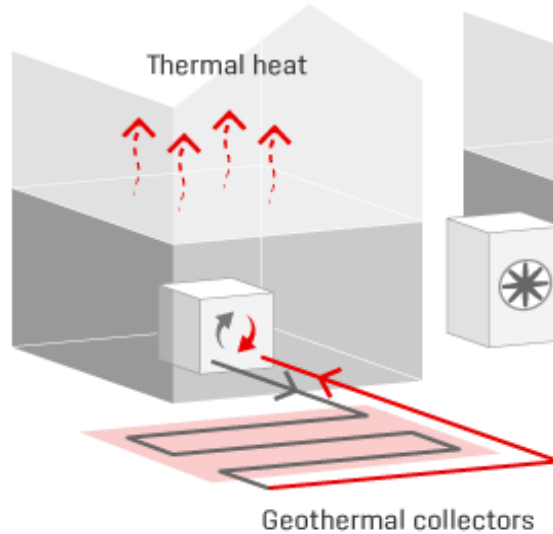
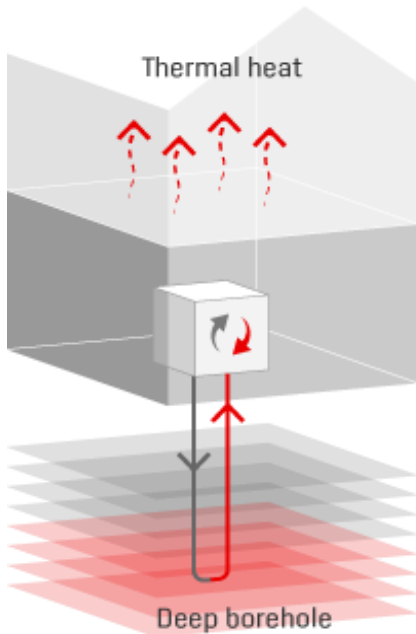
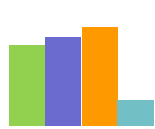
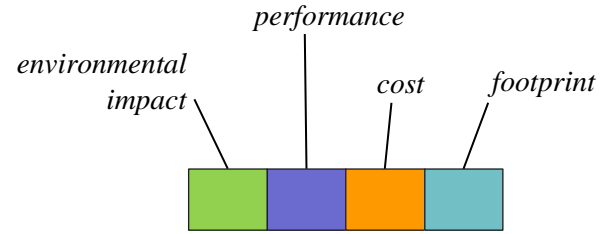
TekneHub



**Università
degli Studi
di Ferrara**



Air, ground or water?



immagini tratte da internet

Scambiatori geotermici verticali (VGHE)

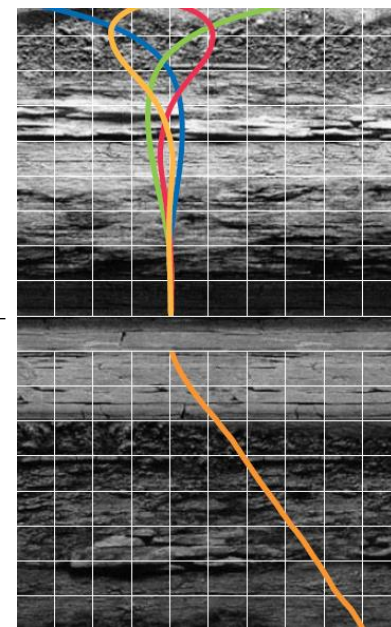


- Tubo di infusione per la miscela bentonitica
- Sonda doppia con due circuiti
- Testa della sonda geotermica
- Sistema di aggancio per il peso
- Peso per l'inserimento della sonda



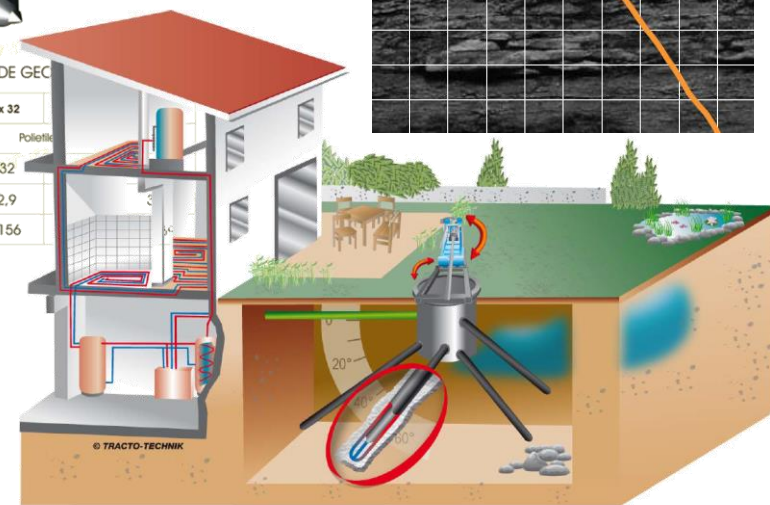
- Sonda a circuito singolo per l'infusione a peso
- Sonda a circuito doppio per l'infusione a spinta dall'alto
- Sonda a circuito singolo per l'infusione a spinta dall'alto
- Sonda a circuito doppio per l'infusione a spinta dall'alto
- Testa della sonda geotermica con giunti elettrolitici

10 m



DATI TECNICI DELLE SONDE GEC

Tipo sonda	4 x 25	4 x 32
Materiale	Poliuretano	
Diámetro esterno tubo [mm]	25	32
Spessore tubo [mm]	2,3	2,9
Capacità sonda [litri]	1,307	2,156



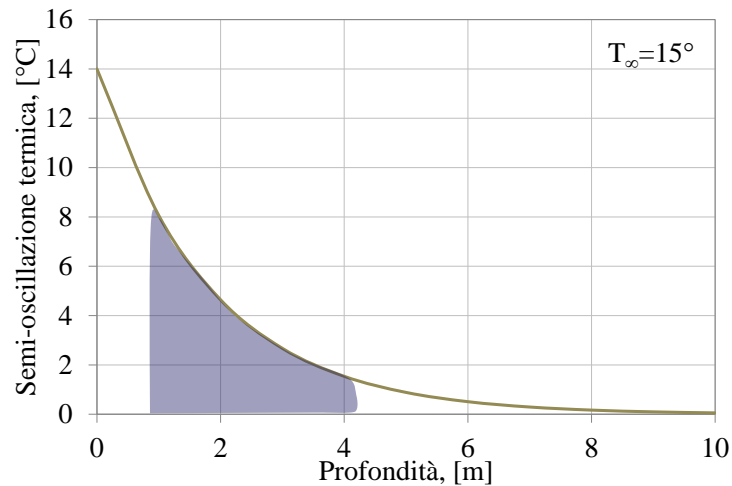
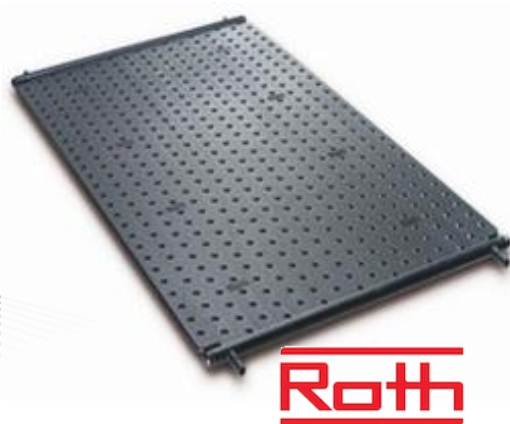
immagini tratte da internet

Scambiatori geotermici orizzontali (HGHE)

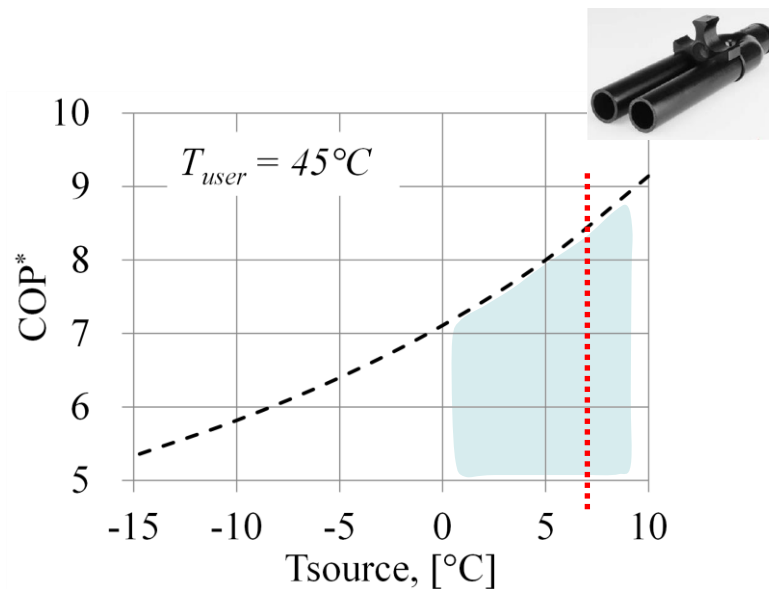
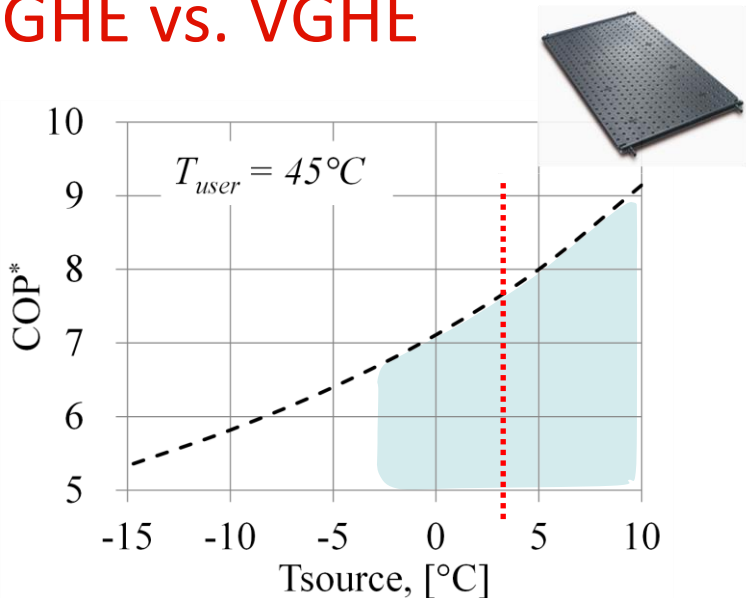


immagini tratte da internet

Brevetto Italiano n.0001401414
European Patent EP 2 418 439 A2



HGHE vs. VGHE



$$COP^* = \frac{T_{user}}{T_{user} - T_{source}}$$

	HGHE	VGHE
Energy performance	☹️	😊
Building cost	😊	☹️
Equipment	😊	☹️
Maintenance	☹️	☹️
Permission	😊	☹️
Soil use restriction	☹️	😊
GW contaminant risk	😊	☹️
Thermal drift	😊	☹️
Design	☹️	☹️

UNI 11466

NORMA ITALIANA	Sistemi geotermici a pompa di calore Requisiti per il dimensionamento e la progettazione	UNI 11466
	NOVEMBRE 2012	
Heat pump geothermal systems Design and sizing requirements		

La norma definisce i criteri di progettazione e le procedure di calcolo per la determinazione delle prestazioni di progetto degli impianti a pompa di calore geotermica. La norma inoltre permette di determinare le temperature medie mensili del fluido termovettore lato terreno che servono per determinare le prestazioni energetiche delle pompe di calore ai fini della certificazione energetica degli edifici.

La norma si applica agli impianti geotermici a pompa di calore con fluido secondario utilizzati per la climatizzazione invernale ed estiva e per la produzione di acqua calda sanitaria mediante scambio di calore con il terreno.

Il metodo ripropone l'approccio ASHRAE con alcune variazioni.

$$L_h = \frac{\dot{Q}_a \times R_{ga} + \dot{Q}_{g,h_D} \times [R_b + (PLF_{m,h_D} \times R_{gm}) + (R_{gd} \times F_{sc})]}{\theta_g - \left(\frac{\theta_{wi} + \theta_{wo}}{2}\right)_{h_D} - \theta_p}$$

$$L_{h,p} = \frac{\dot{Q}_{g,h_D} \times (R_p + R_g \times P_m \times S_m \times F_h)}{\theta_{g,L} - \left(\frac{\theta_{wi} + \theta_{wo}}{2}\right)_{h_D}}$$

EED
Geotermus
GHP Design 3D
EC714
GS2000
TRNSYS
COMSOL

Ingersoll L.R., Zobel O.J., Ingersoll A.C. 1954. Heat conduction: with engineering and geological applications. McGraw-Hill Book Co, New York.

Kavanaugh S.P., Rafferty K. 1997. Ground source heat pumps-Design of geothermal systems for commercial and institutional buildings. ASHRAE. Applications Handbook.

Flat-Panel design

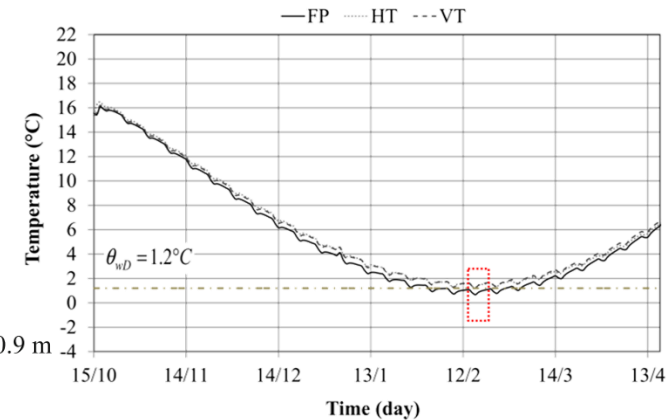
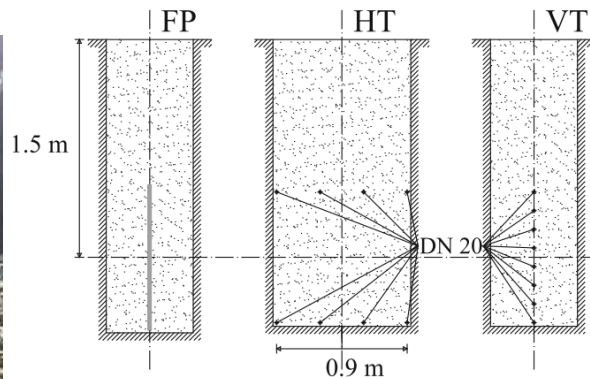


Fig. 6 Daily average temperature at the HGHE surface: 2,500 DD

Int J Energy Environ Eng (2015) 6:55–63
DOI 10.1007/s40095-014-0150-0

ORIGINAL RESEARCH

On the sizing of a flat-panel ground heat exchanger

Marco Bortoloni · Michele Bottarelli

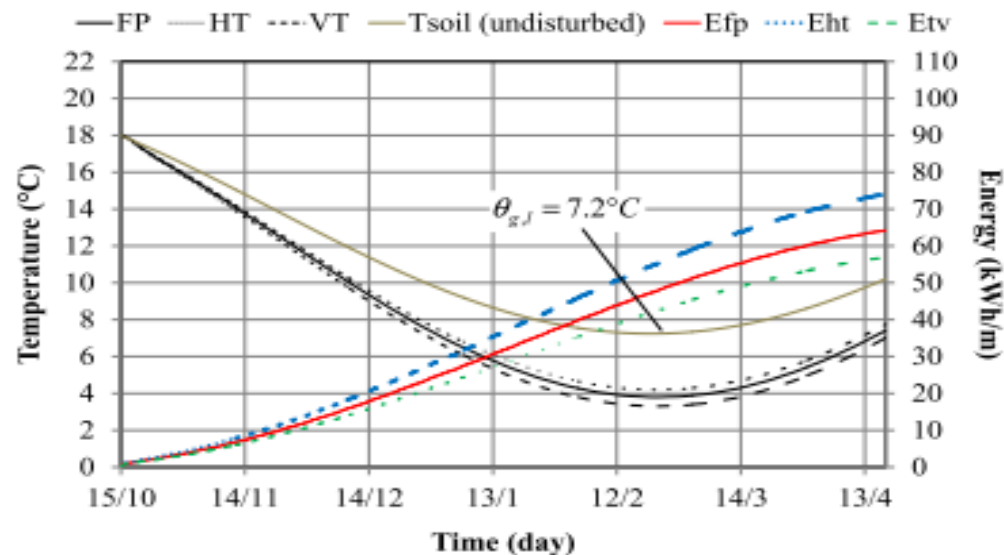
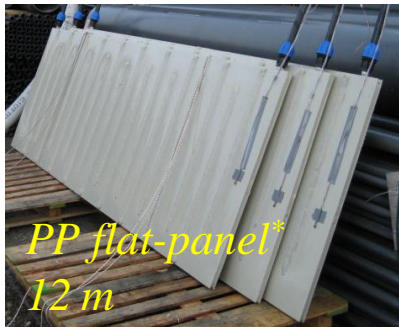


Fig. 12 Temperature of the ground (0; -1.5 m) and energy extracted by HGHEs at 2,500 DD

Comparison

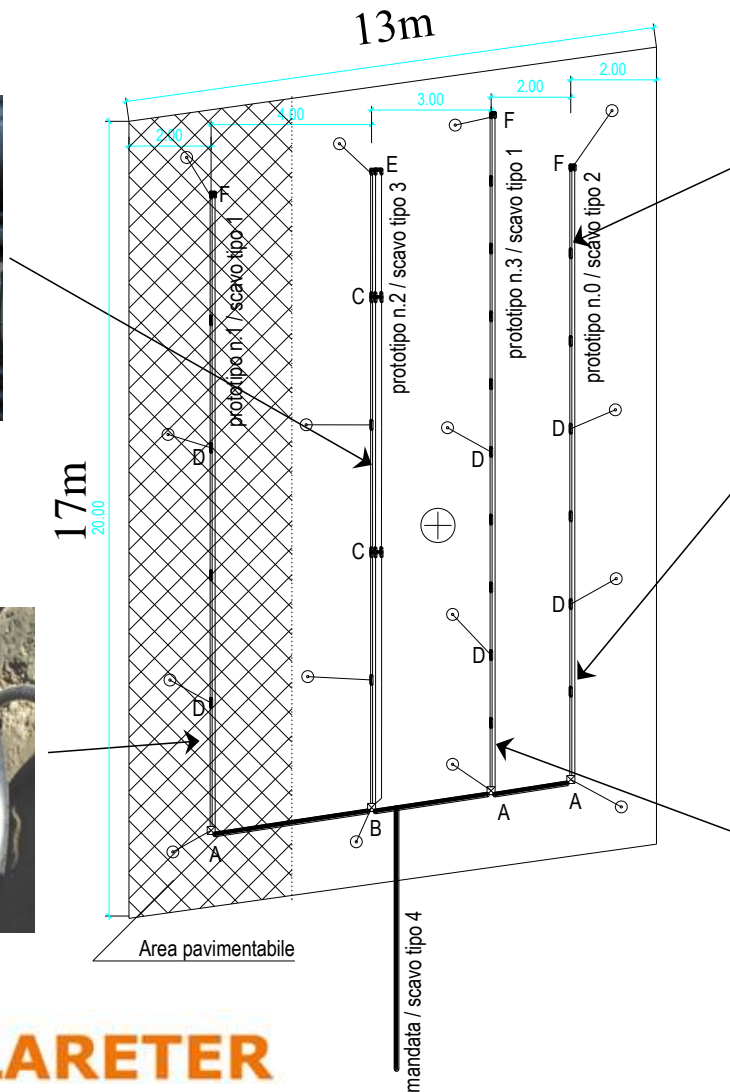


PP flat-panel*
12 m

Brevetto Italiano n.0001401414
European Patent EP 2 418 439 A2



Slinky
12 m



similar to Geotherm®
6 m



Sunnyday®
6 m

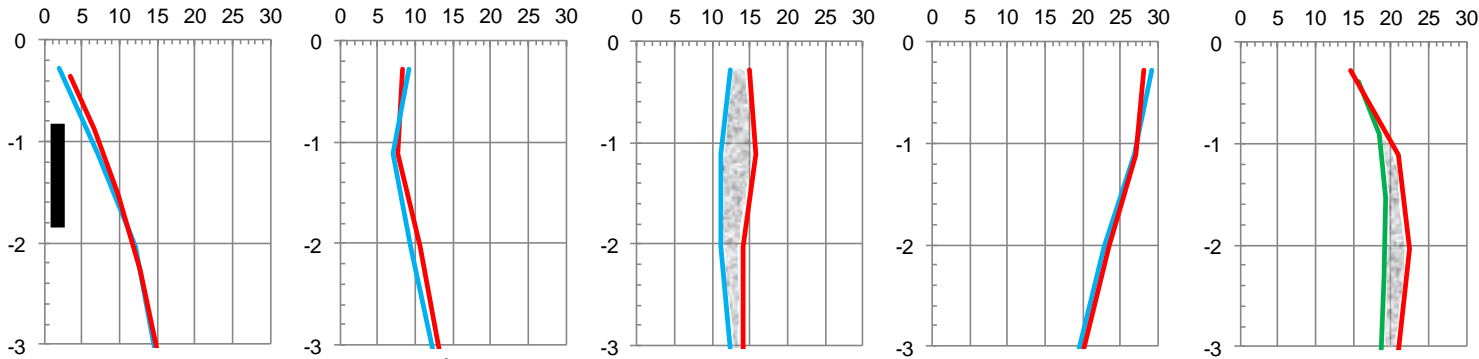


HDPE flat-bag*
12 m

* Patent pending

Research funded by LARETER

Thermal drift



Brevetto Italiano n.0001401414
European Patent EP 2 418 439 A2

	Jan.	Feb.	Mar.	Apr.	May	Jun	July	Aug.	Sept.	Oct.	Nov.	Dec.
2010										X	X	X
2011	X	X	X	X	X	X	X	X	X	X	X	X
2012	X	X	X	X	X	X	X	X				

+ 700 kWh
- 300 / + 100 kWh

Unlike with the vertical systems, long-term subsurface thermal energy build-up or depletion do not happen with shallow GHEs.

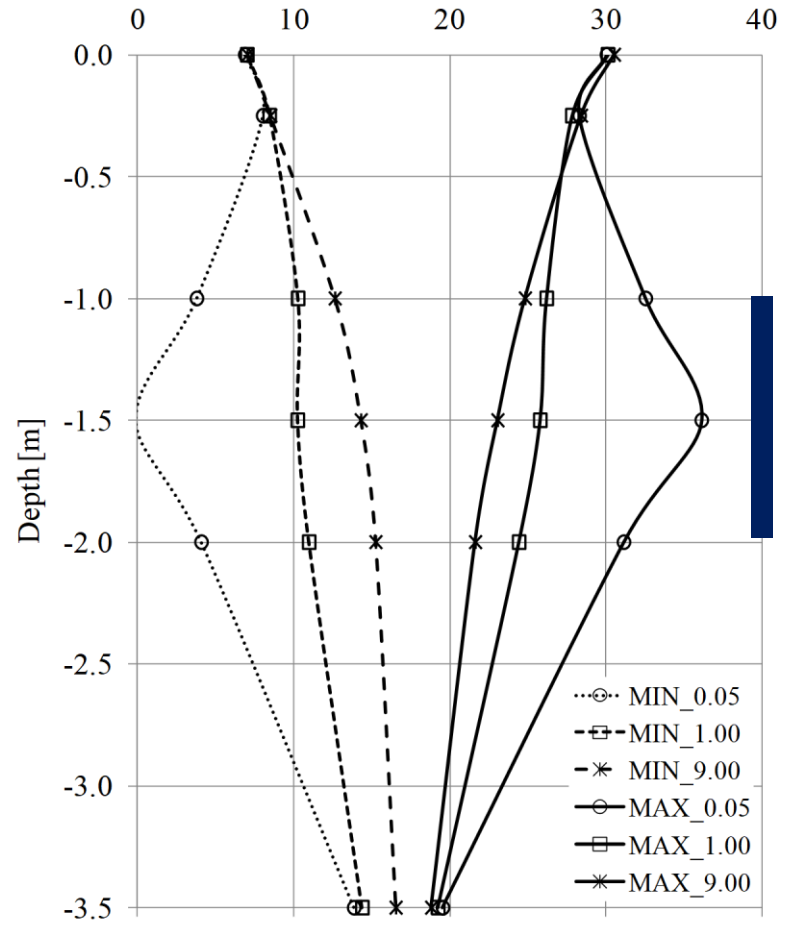
The heat transfer over the soil surface seems to delete the memory of the energy exploitation carried out by FPs.



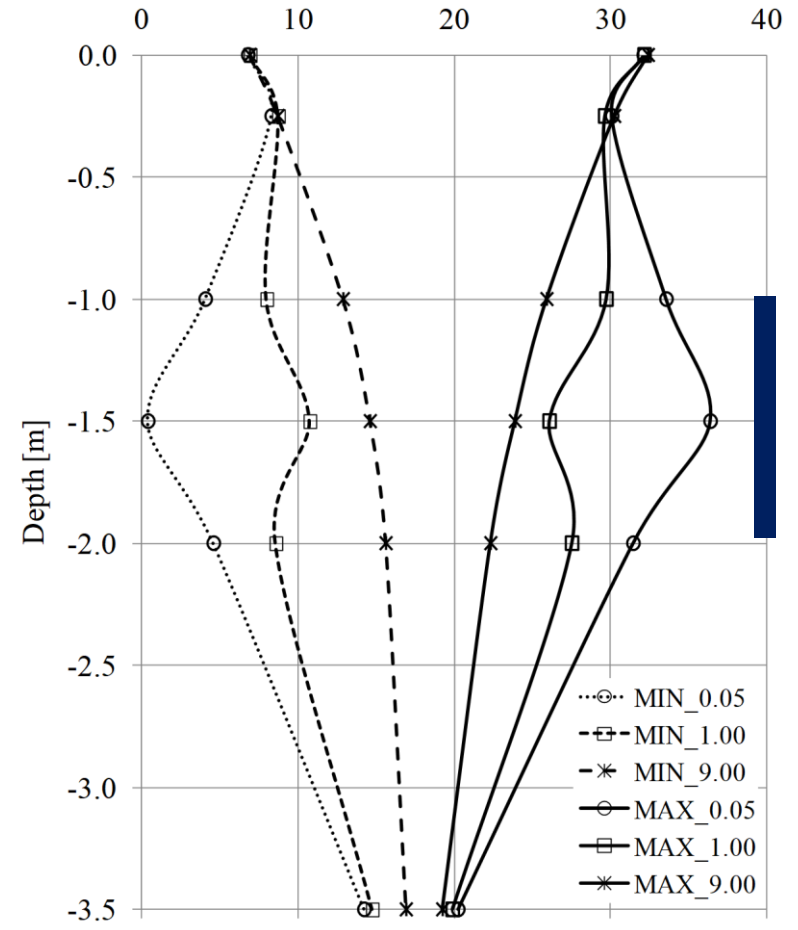
Soil finishing



MIN-MAX temperature of the year [C]

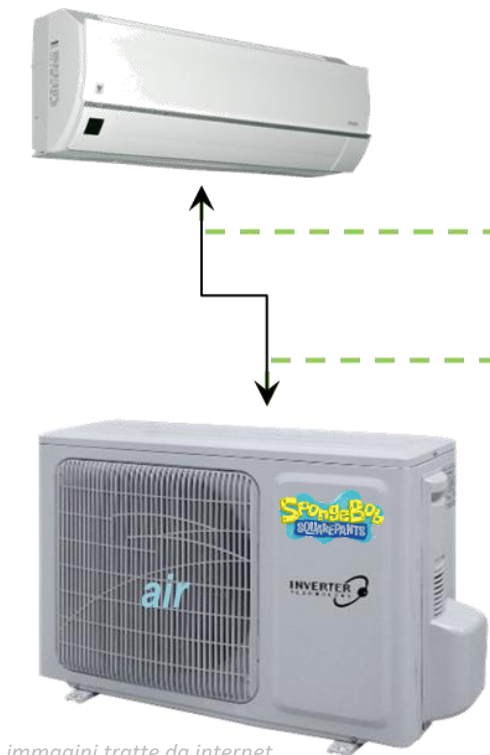


MIN-MAX temperature of the year [C]



DSK dual-source kit

<http://www.hegos.cnainnovazione.net/>



immagini tratte da internet

sistema esistente



Control rule

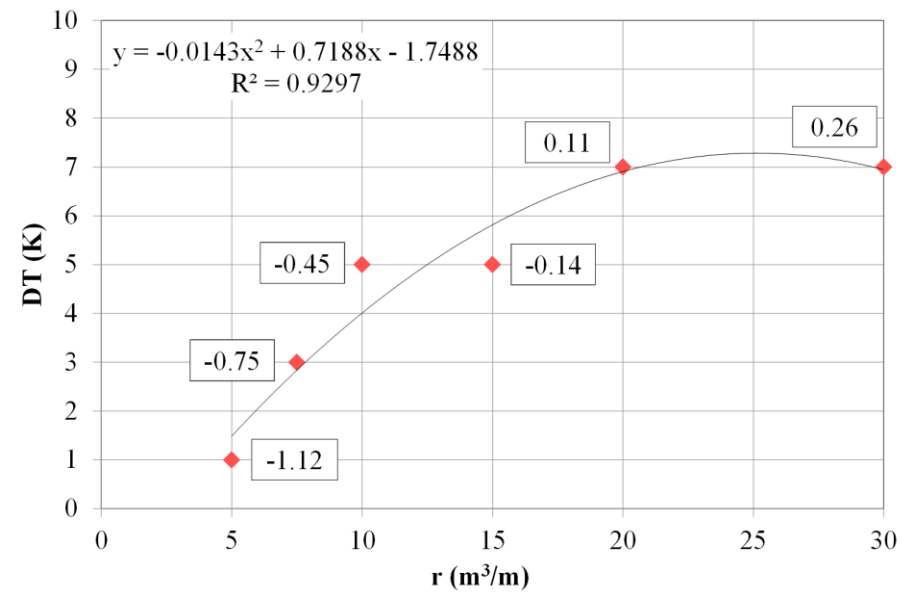
r (m ³ /m)	L _{ratio} (-)	DT (K)							
		0	1	2	3	5	7	10	
5	1	-1.12	-1.12	-1.12	-1.12	-1.08	-0.94	-0.59	
7.5	0.67	-0.64	-0.67	-0.71	-0.75	-0.72	-0.63	-0.32	
10	0.5	-0.27	-0.34	-0.40	-0.44	-0.45	-0.39	-0.15	
15	0.33	0.17	0.06	-0.03	-0.07	-0.14	-0.10	0.14	
20	0.25	0.41	0.29	0.21	0.15	0.12	0.11	0.23	
30	0.13	0.65	0.53	0.43	0.37	0.30	0.26	0.29	

*kWh_e / m*season*

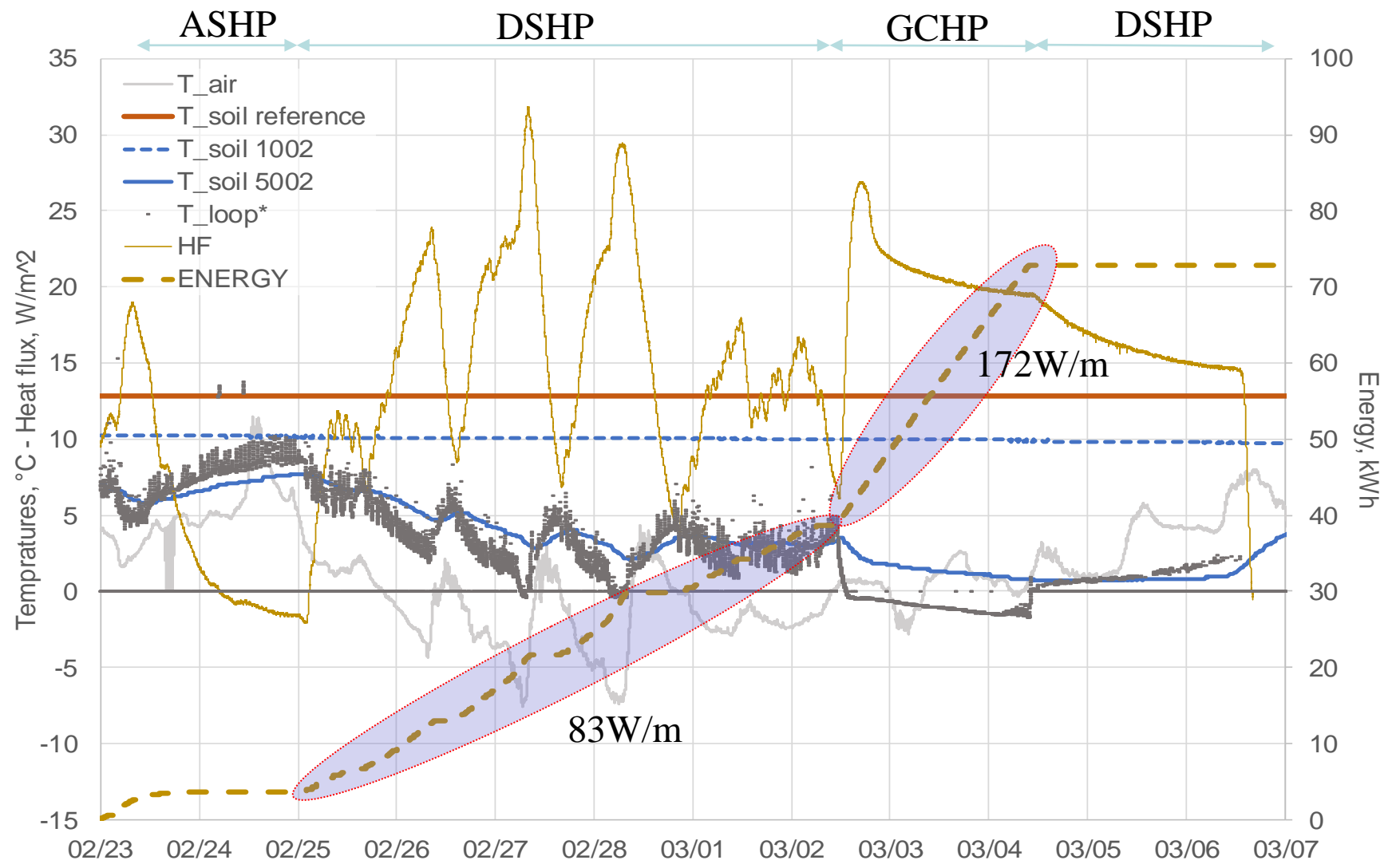
The shorter the GHE length, the higher must be DT

DSHP can be more profitable than GCHP for given r & DT

Unlike the unpretentious energy saving, DSHP can shorten drastically the length of the GHE.



Phase change

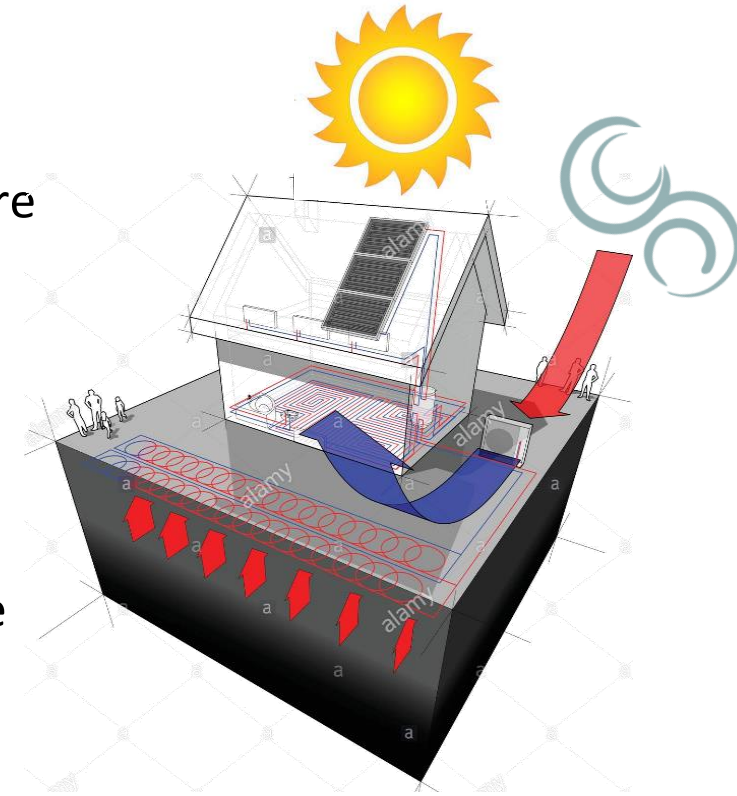


Presupposti

L'accumulo termico consente:

- riduzione della potenza di picco del generatore
- migliori prestazioni
- risparmio energetico
- aumento della quota rinnovabile

Assumendo il terreno come accumulo, integrare al calore sensibile il calore latente consente, a parità di dimensioni e alle temperature di cambio di fase, una maggiore densità energetica (1:5).

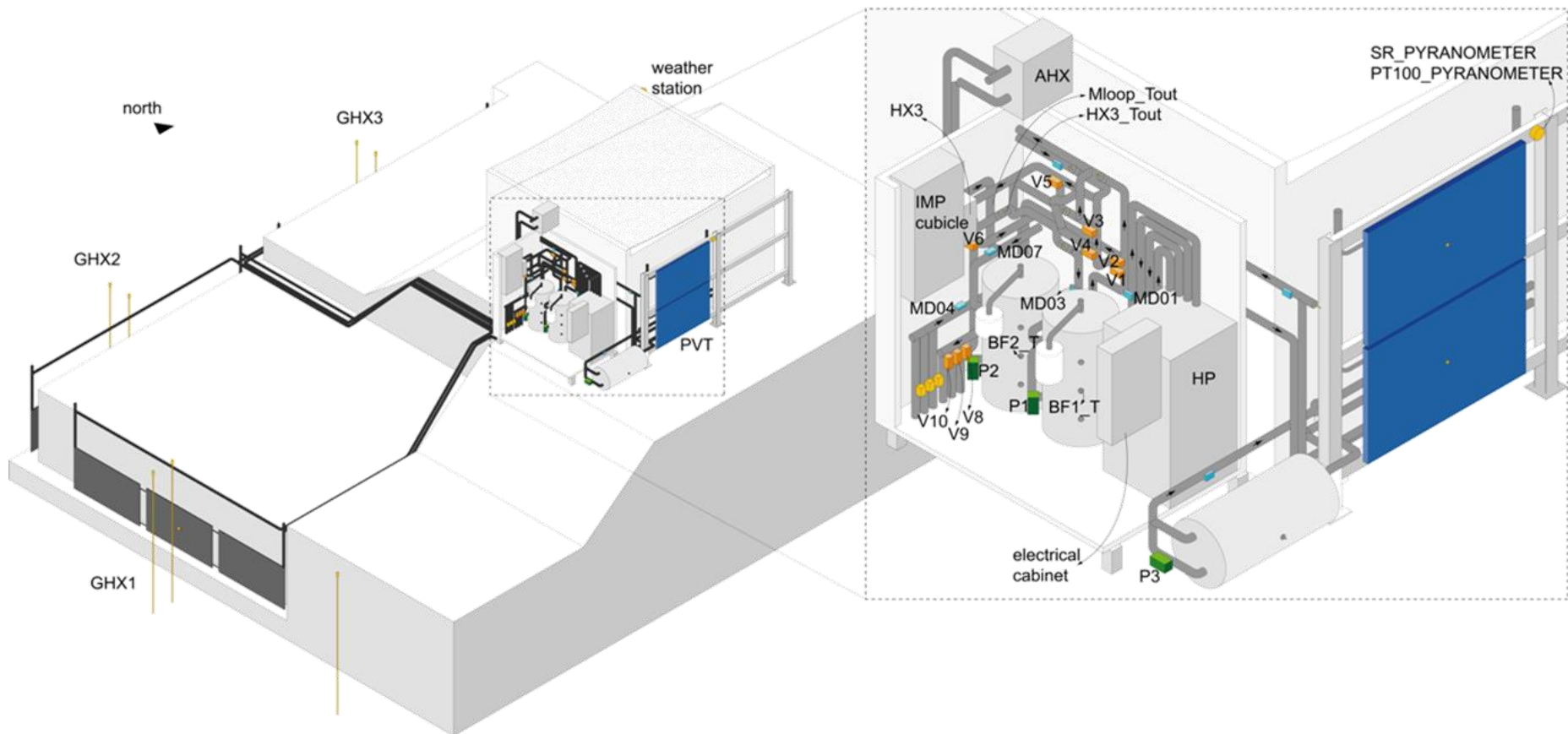


Proposta

Rinfiacco di HGHEs tipo Flat-Panel con materiali a cambio di fase per incrementare la capacità di accumulo termico



Sistema multisorgente IDEAS



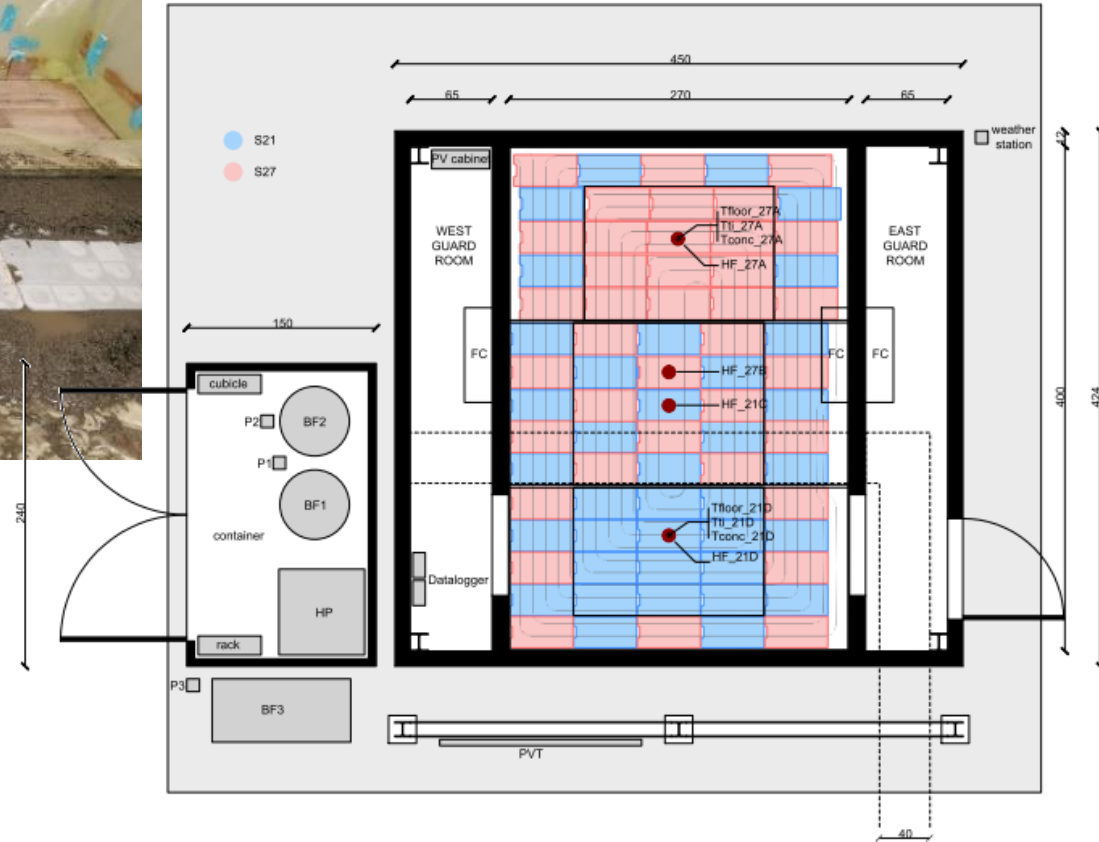
Sistema multisorgente IDEAS



Sistema multisorgente IDEAS



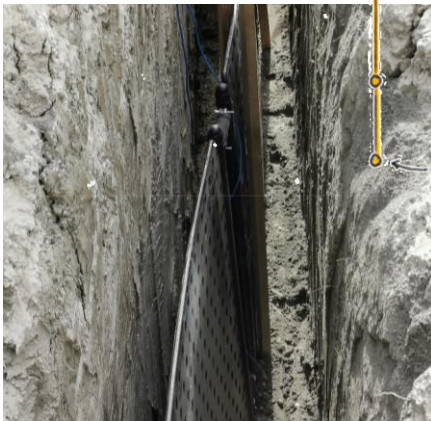
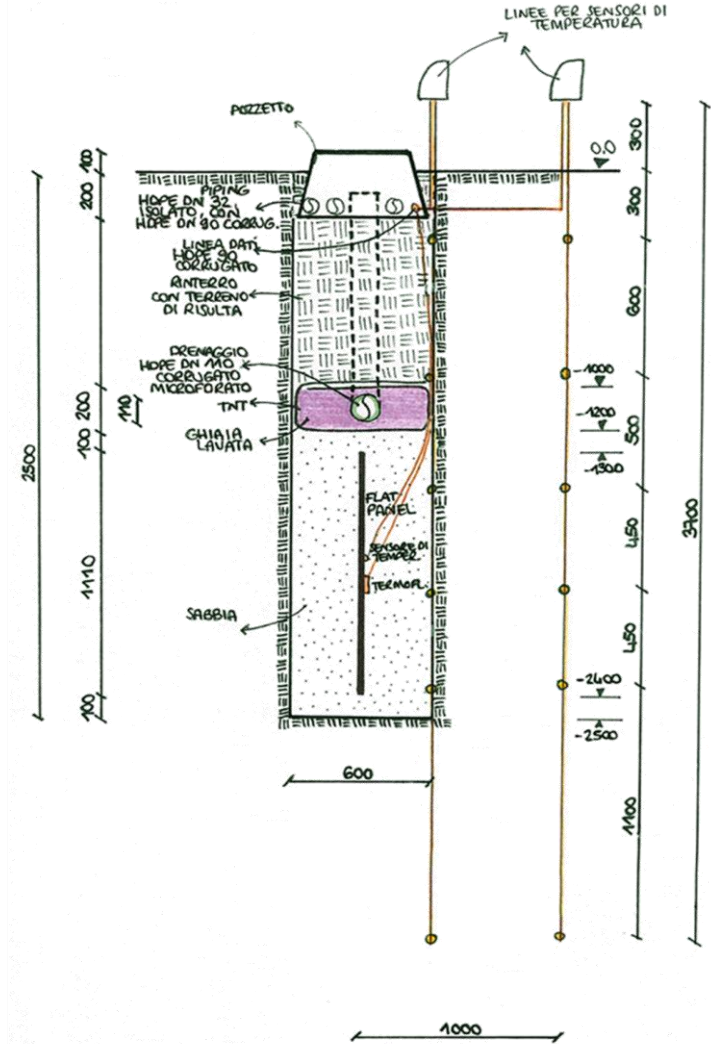
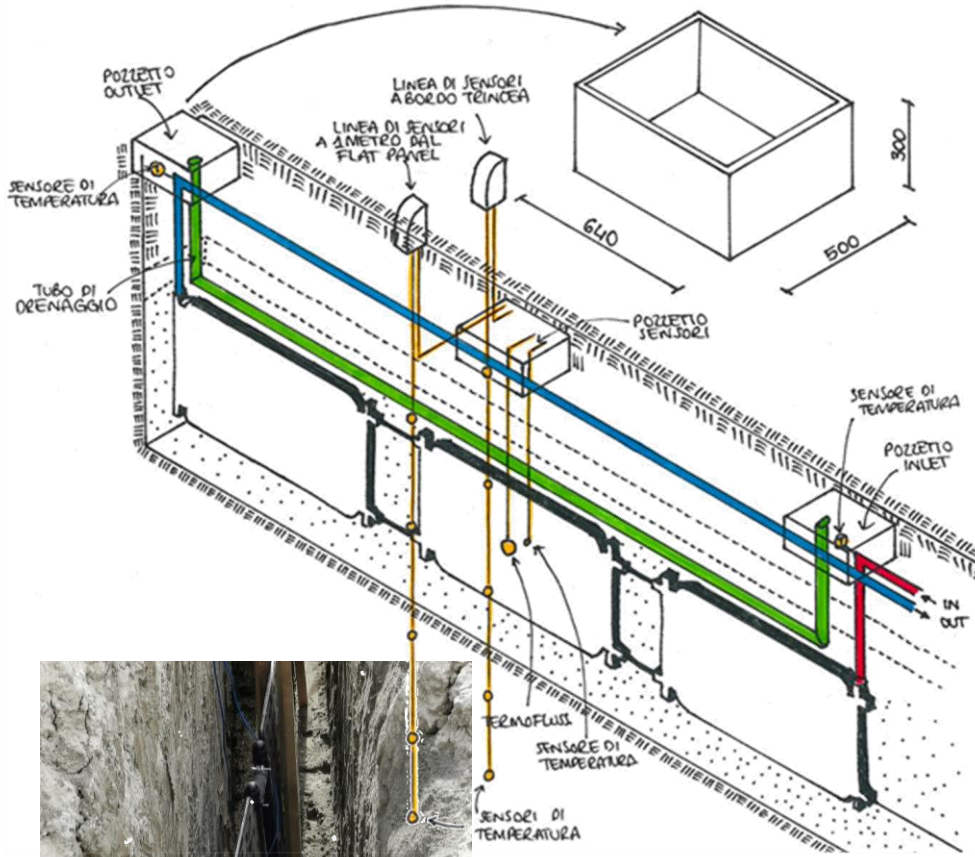
Pavimento radiante



Campo geotermico



Campo geotermico



Rinfiando con sabbia-PCM (paraffine)



SAND:
 Volume: 3.8 m³
 Mass: 6.1 t
 UTES_{dry} (10K): 61 MJ
 UTES_{wet} (10K): 136 MJ

	Heating	Cooling
Melting Point	8	27
PCM	A8	A27
Product	granule*	granule*
PCM mass	174 kg	89 kg
Product mass	348 kg	178 kg
UTES	31.3 MJ	22.3 MJ

* granules are supposed having 50% in mass of paraffin (PCM Products Ltd.)

	summer	winter
PCM mass ratio	2.7%	5.7%
PCM UTES ratio	15.2%	21.4%

Rinfianco con container (sali idrati)

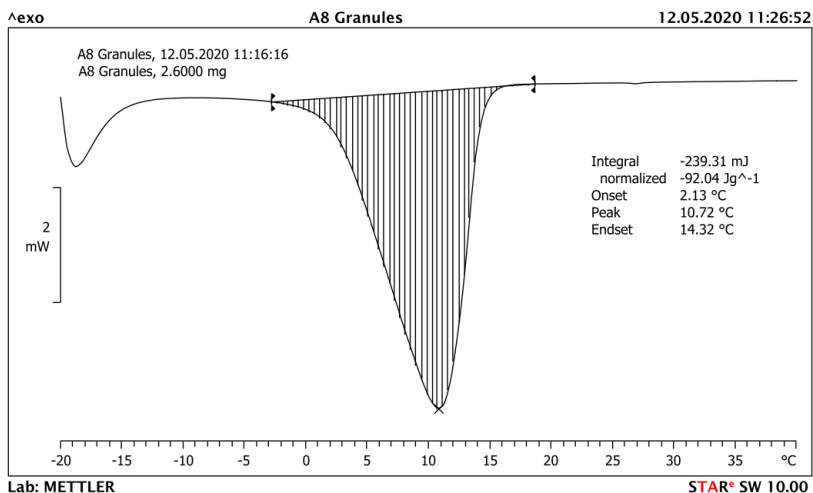


SAND:
 Volume: 4.8 m³
 Mass: 7.7 t
 UTES_{dry} (10K): 77 MJ
 UTES_{wet} (10K): 147 MJ

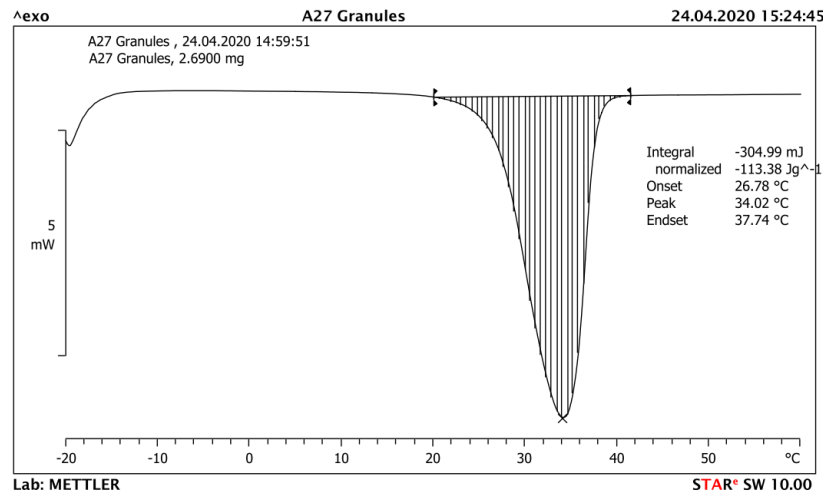
	Heating	Cooling
Melting Point	8	27
PCM	S8	S27
Product	TubeICE	TubeICE
Num. of Containers	112	56
PCM mass	241 kg	120 kg
UTES	31.3 MJ	22.3MJ

	summer	winter
PCM mass ratio	1.5%	2.9%
PCM UTES ratio	14.5%	20.3%

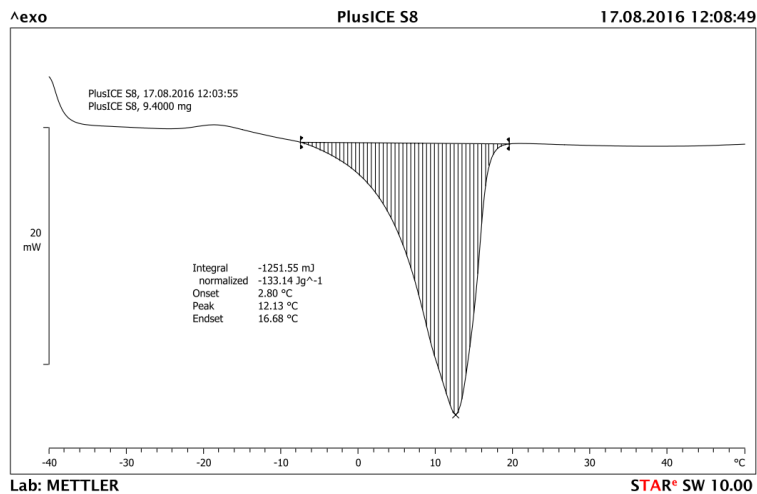
DSC



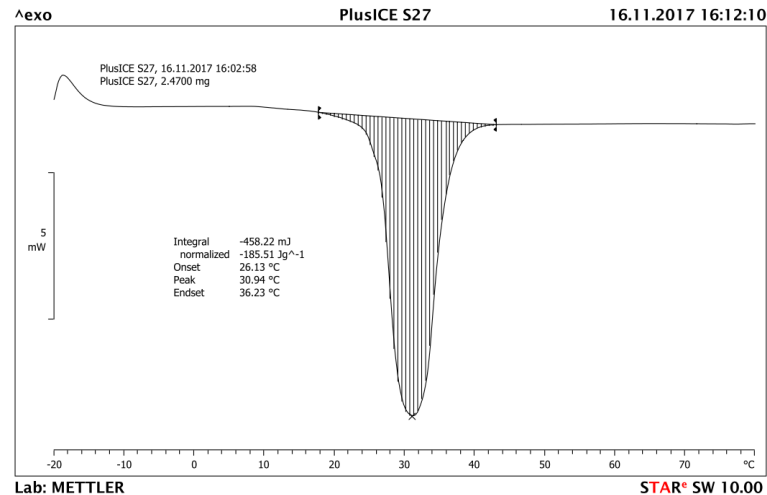
PCM A8 in granules (GHX2)



PCM A27 in granules (GHX2)

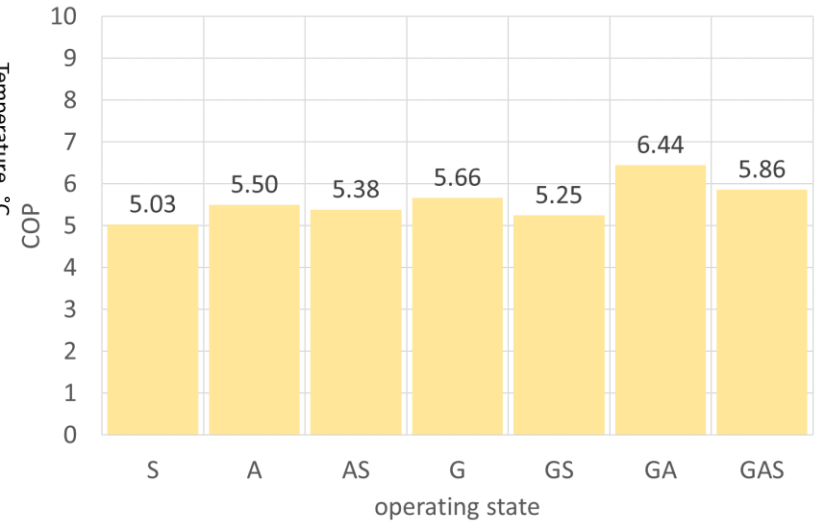
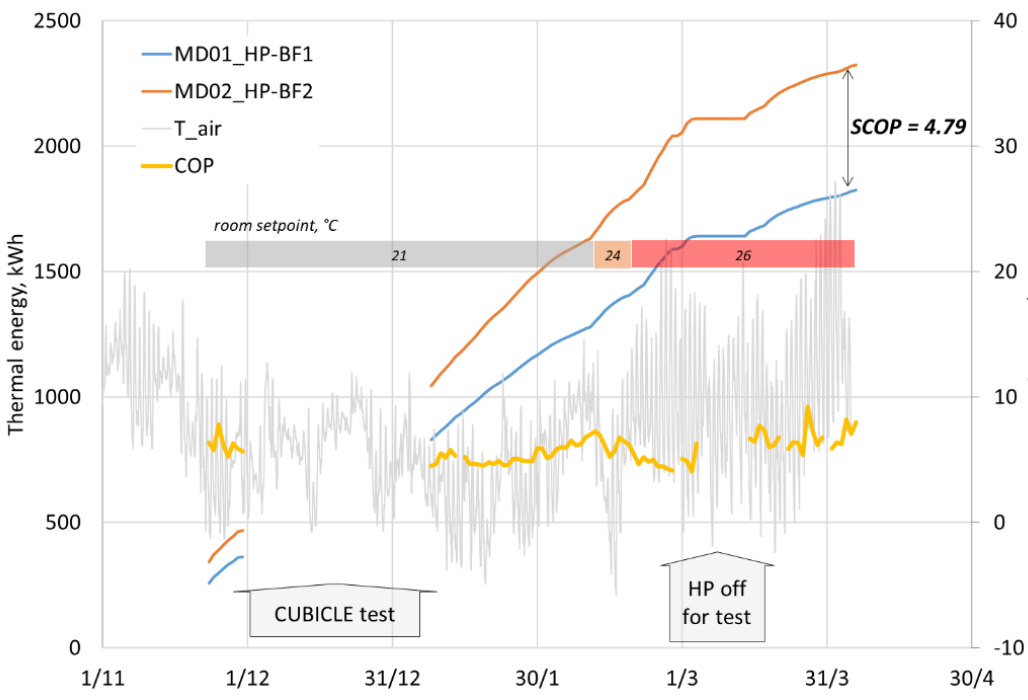
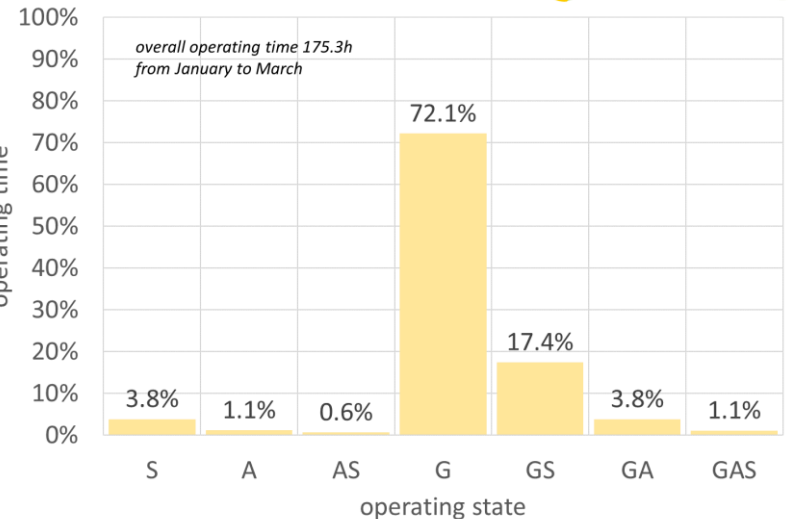
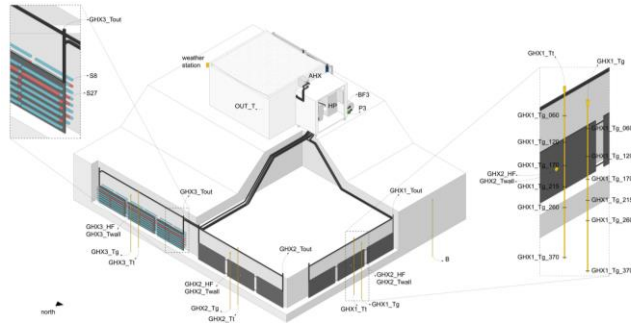


PCM S8 in TubeICE (GHX3)

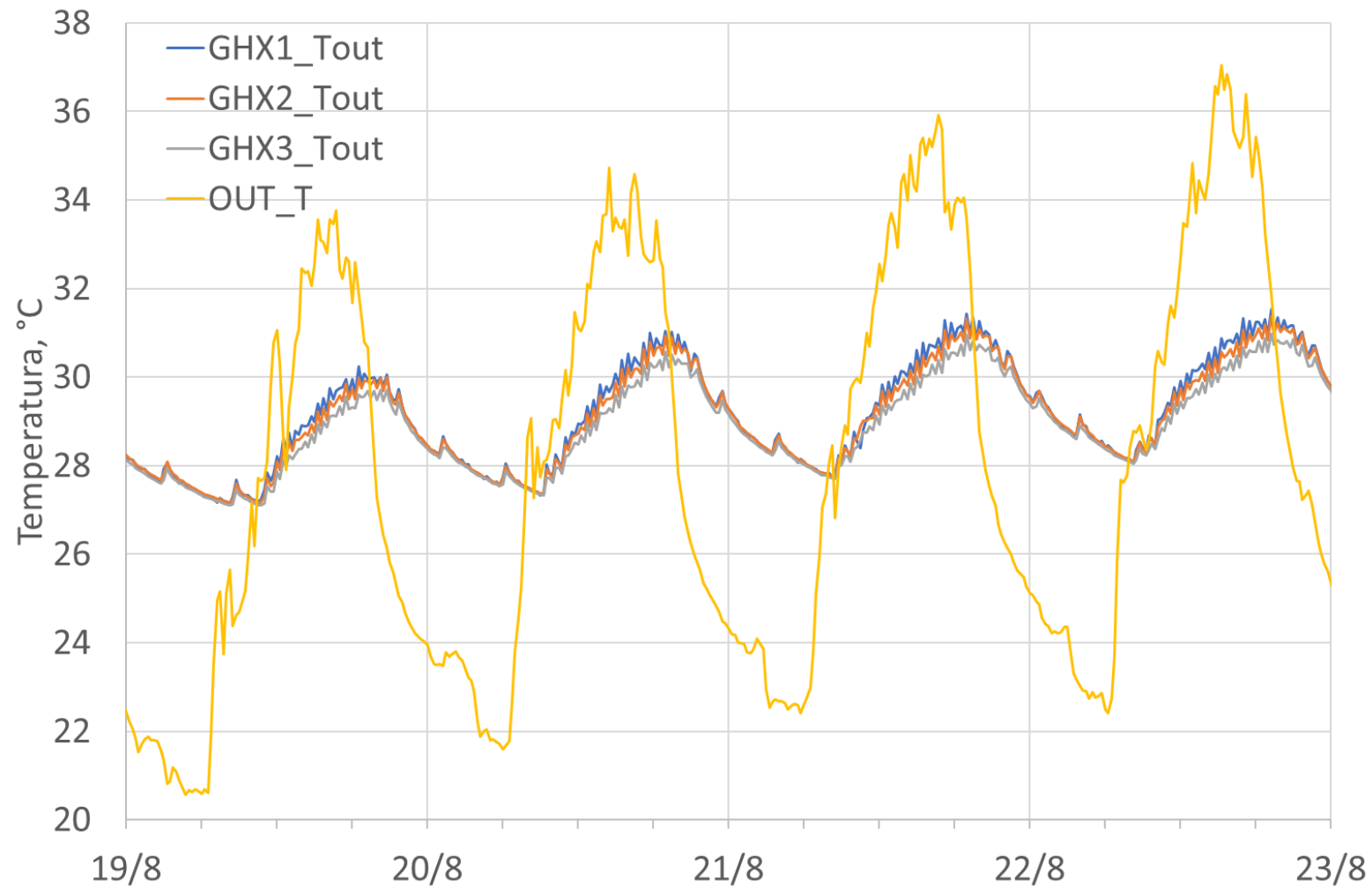


PCM S27 in TubeICE (GHX3)

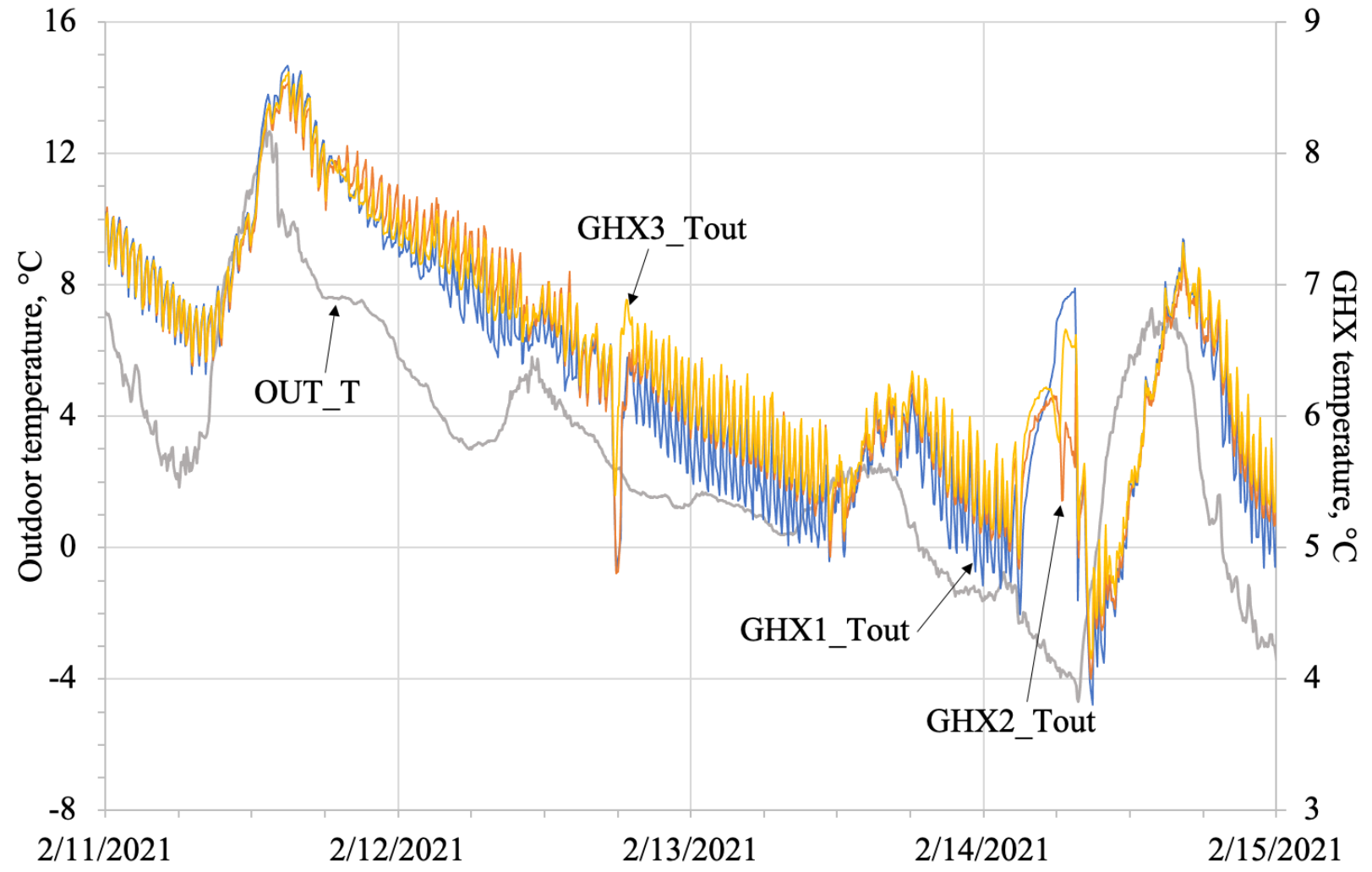
Prestazioni invernali (1/5)



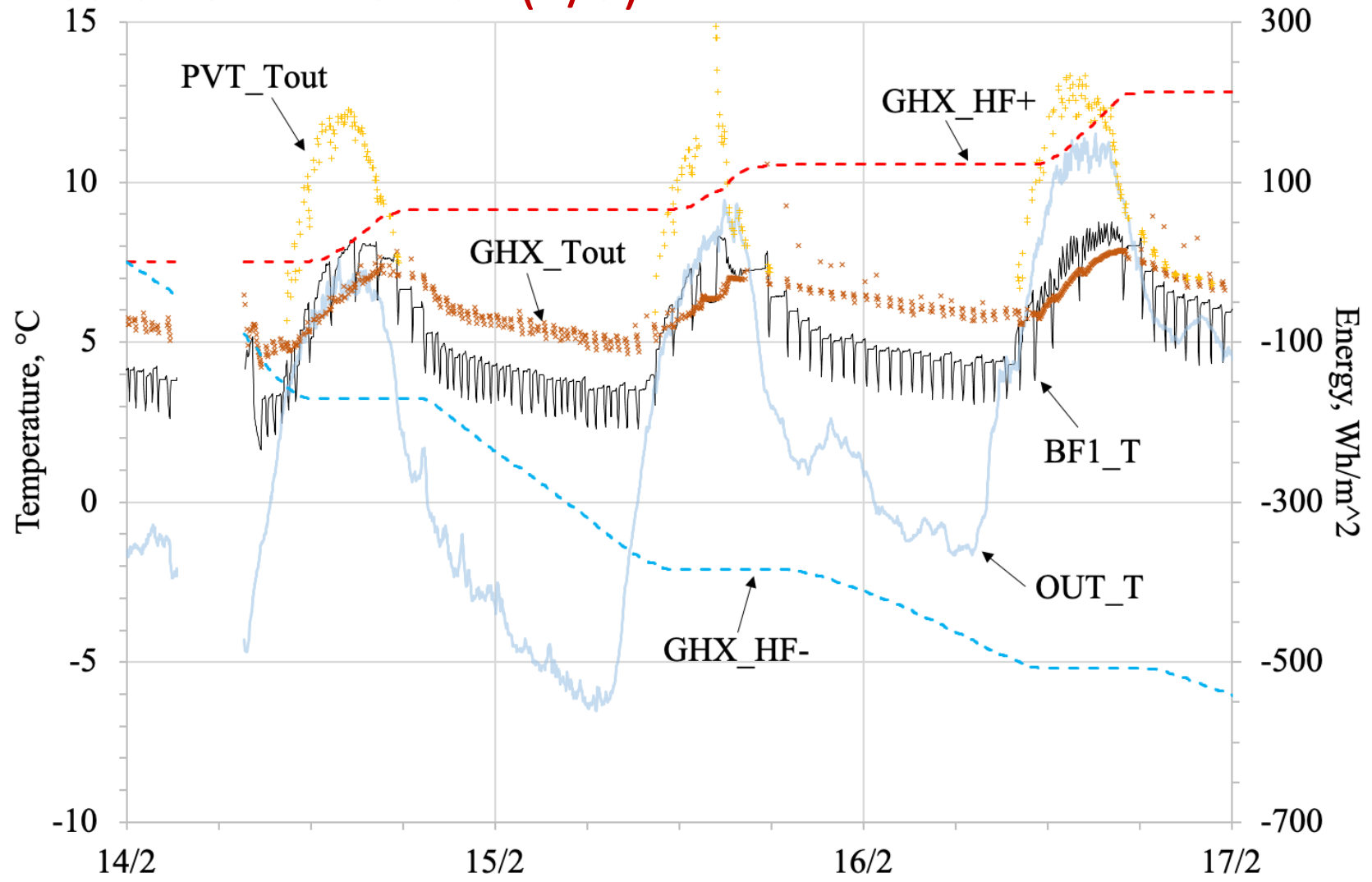
Prestazioni invernali (2/5)



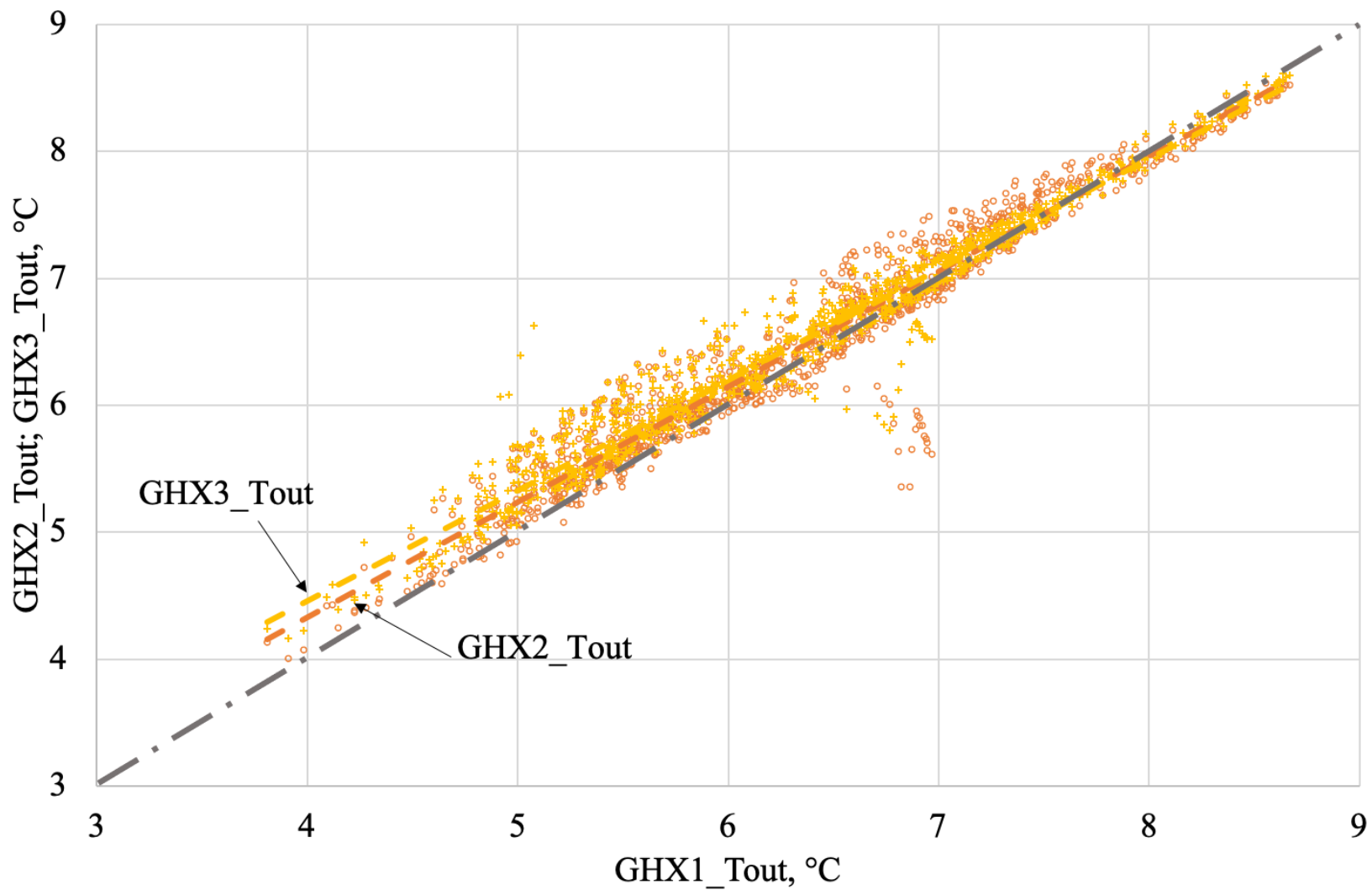
Prestazioni invernali (3/5)



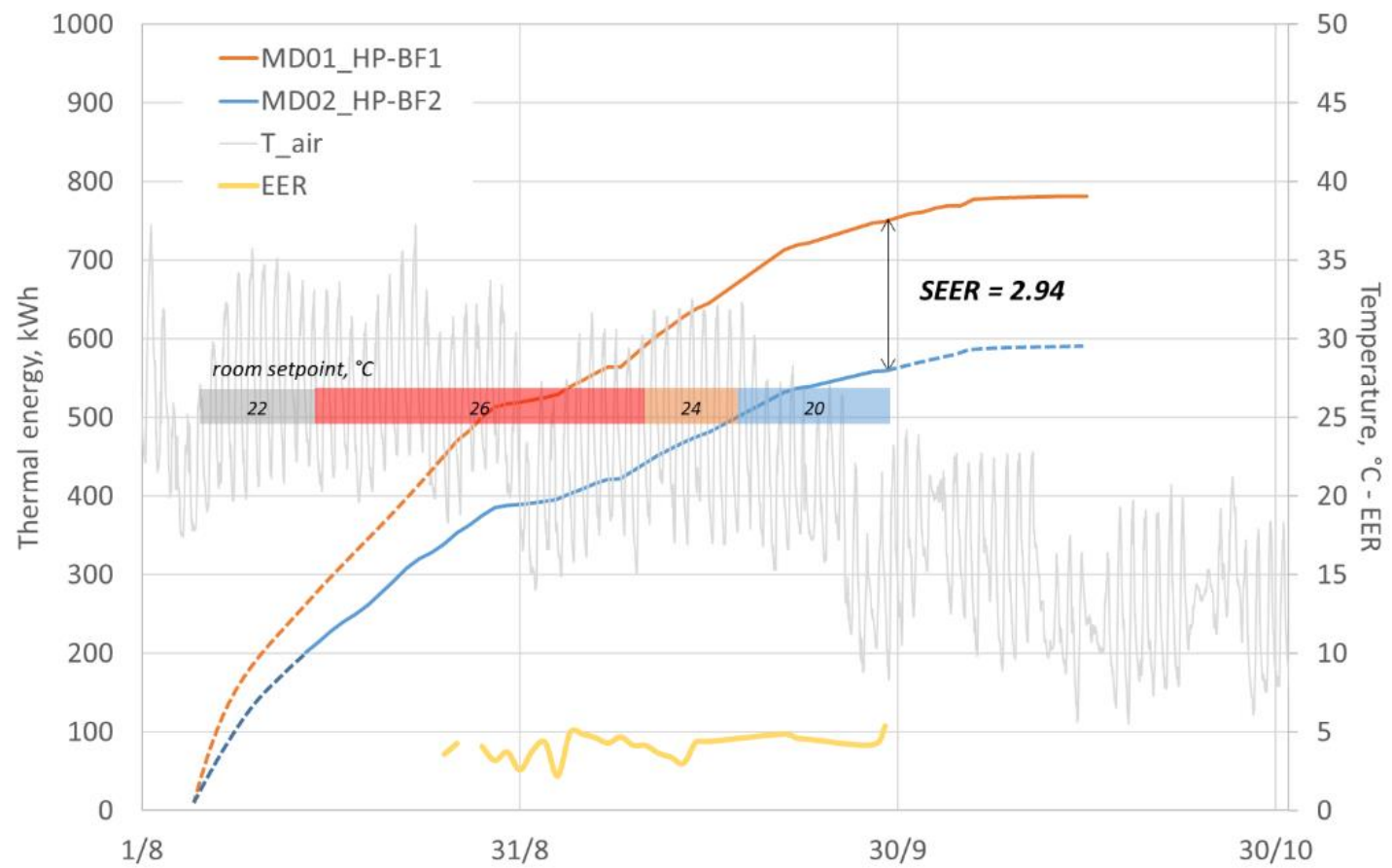
Prestazioni invernali (4/5)



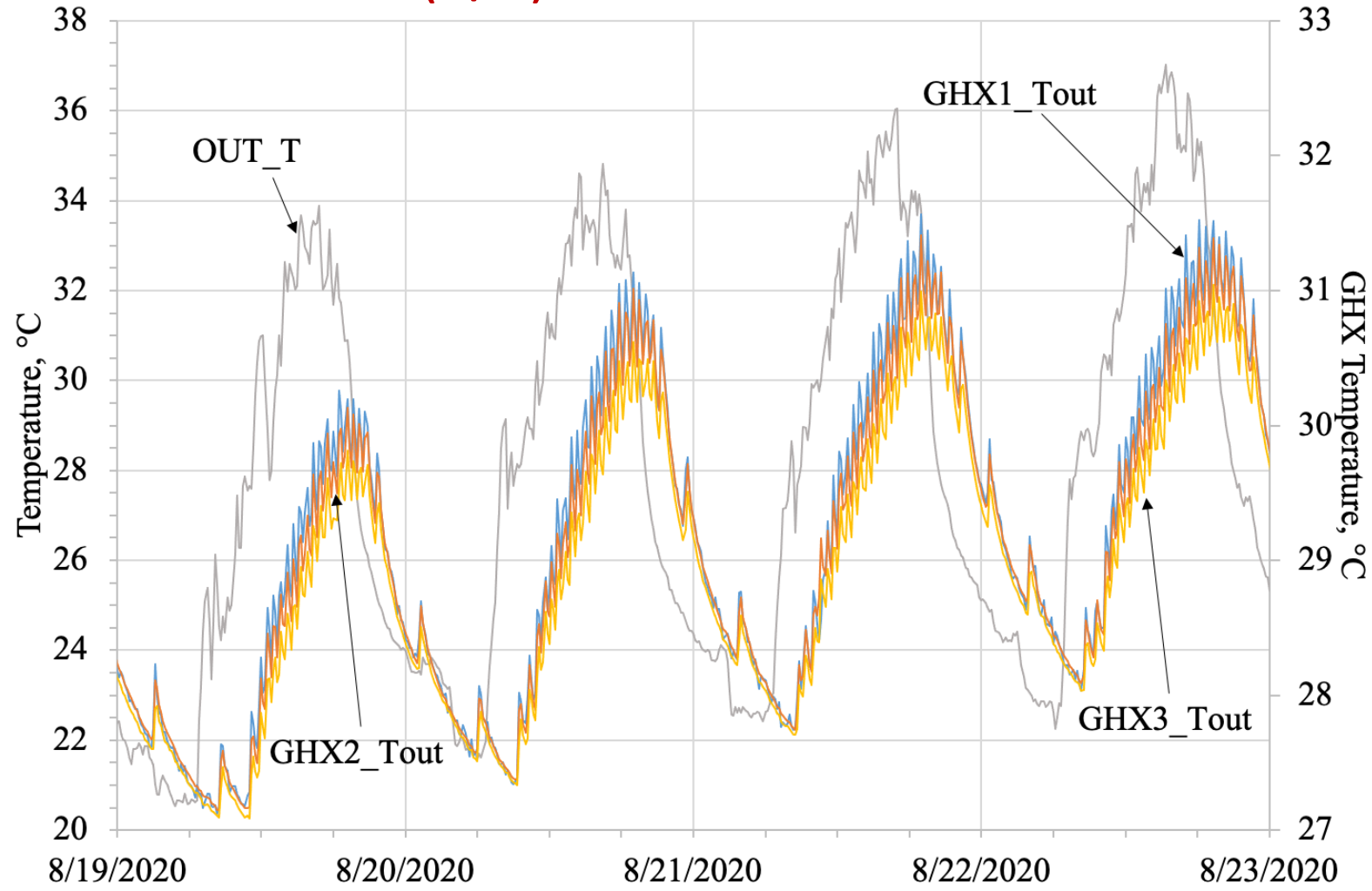
Prestazioni invernali (5/5)



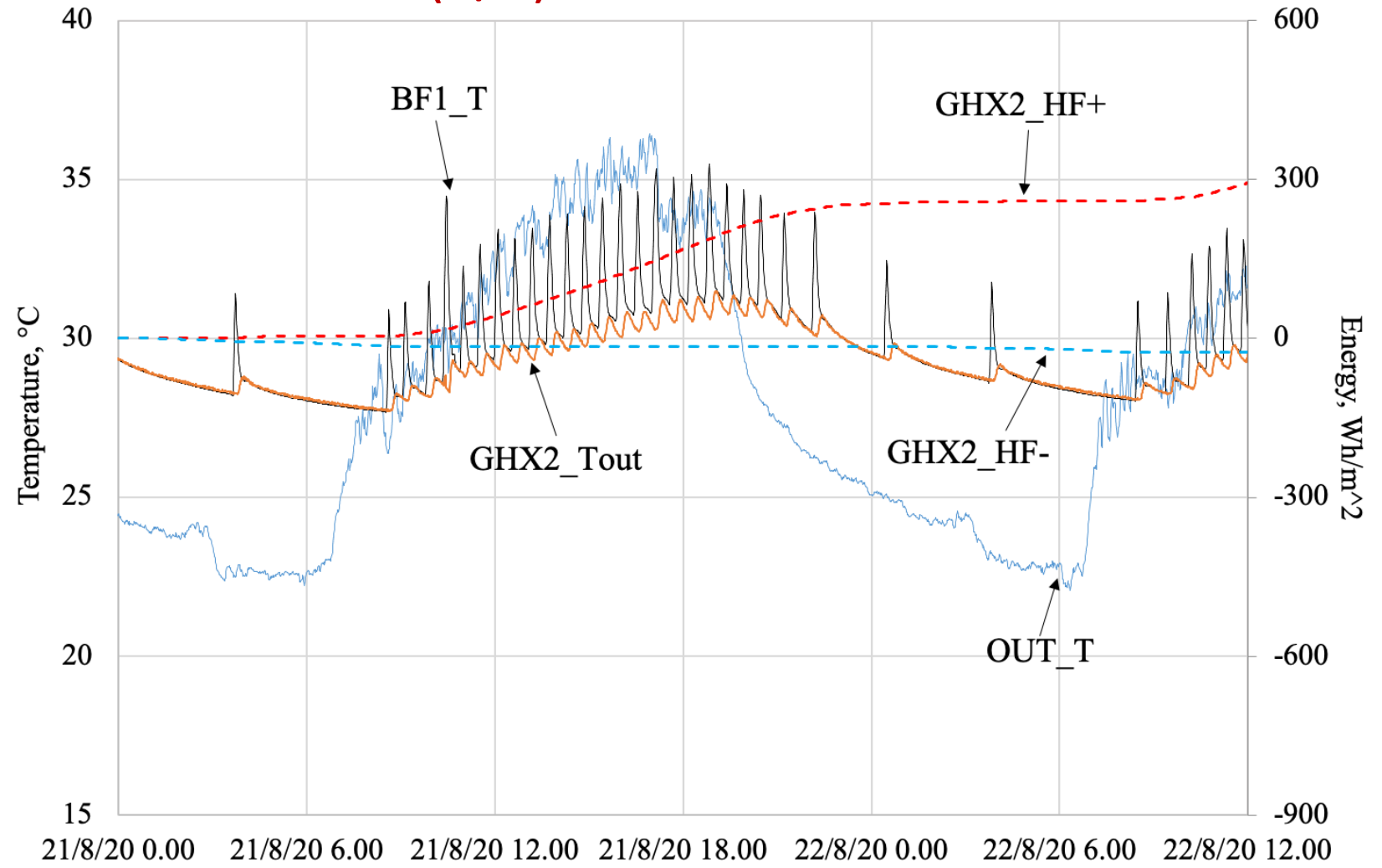
Prestazioni estive (1/5)



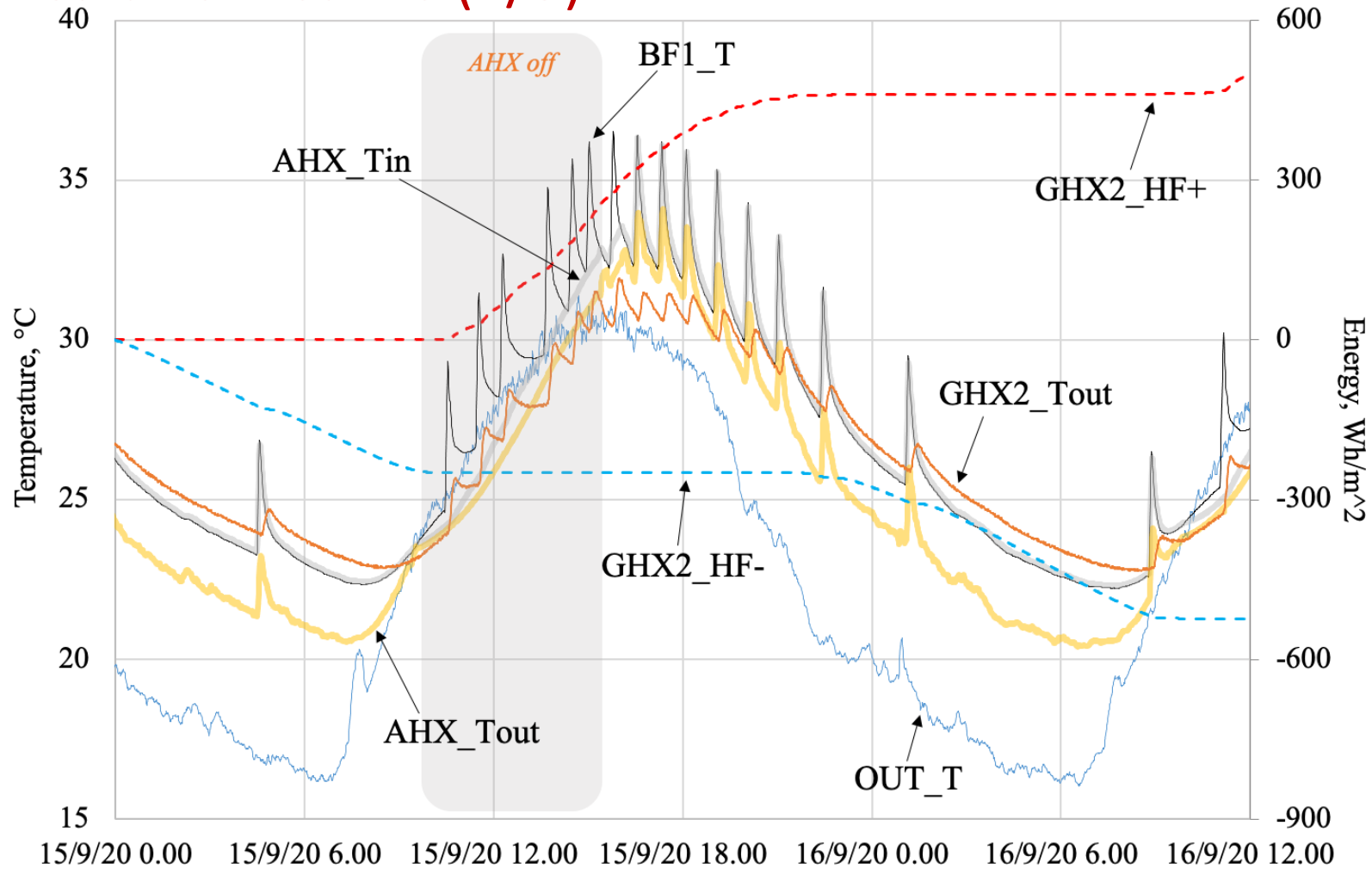
Prestazioni estive (1/5)



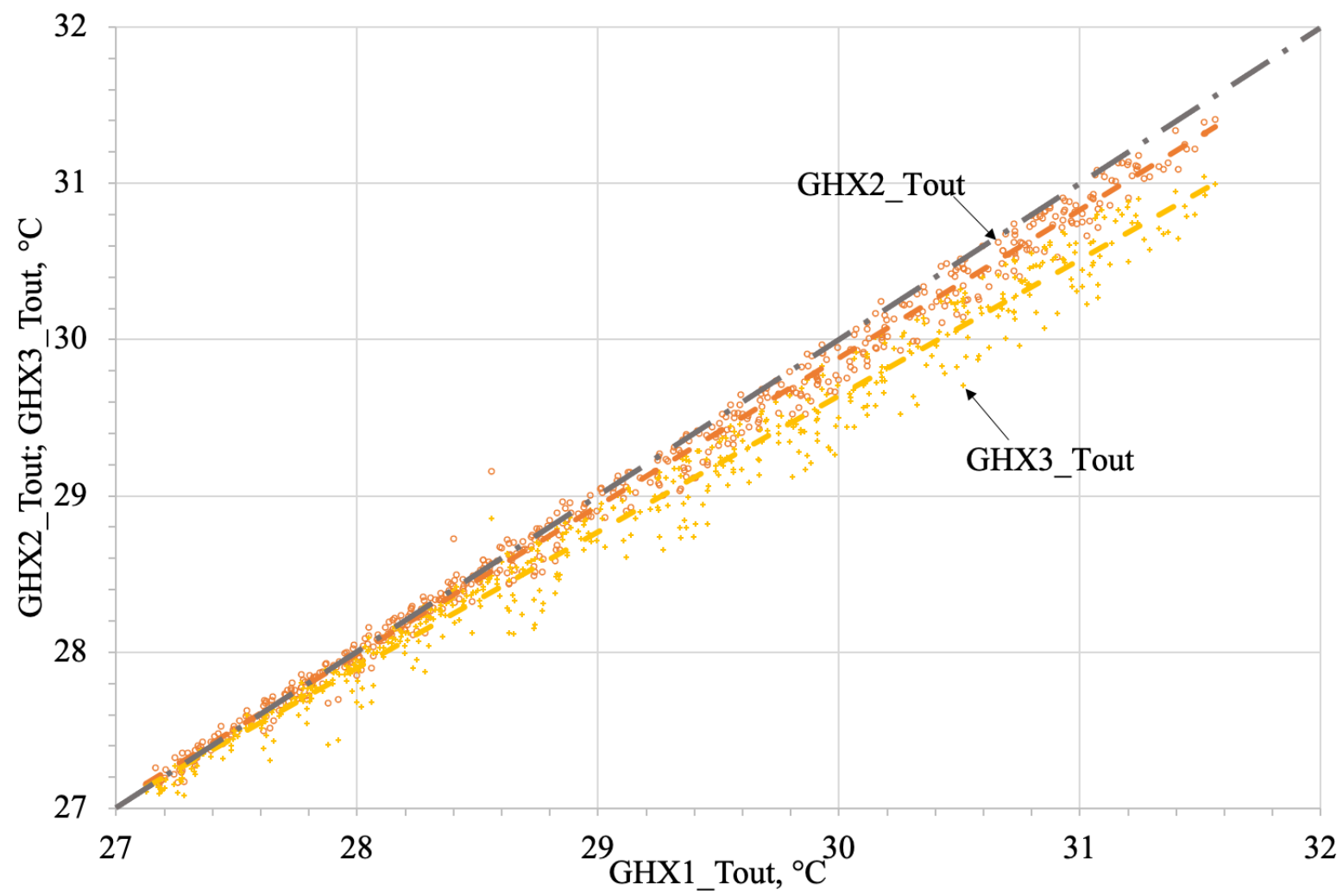
Prestazioni estive (3/5)



Prestazioni estive (4/5)

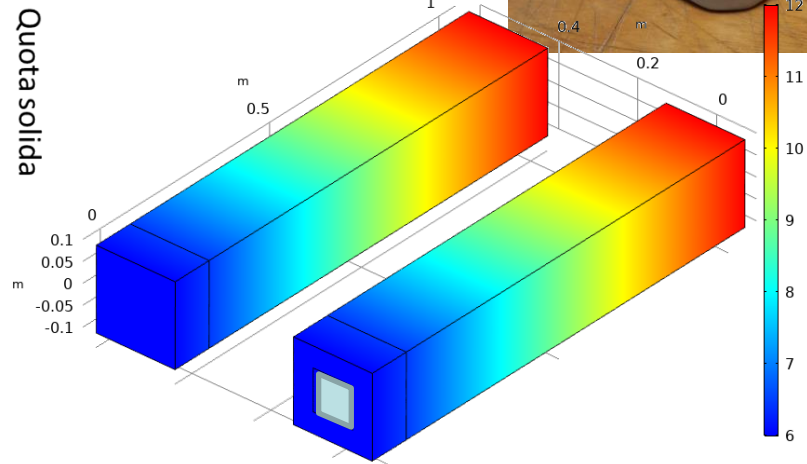
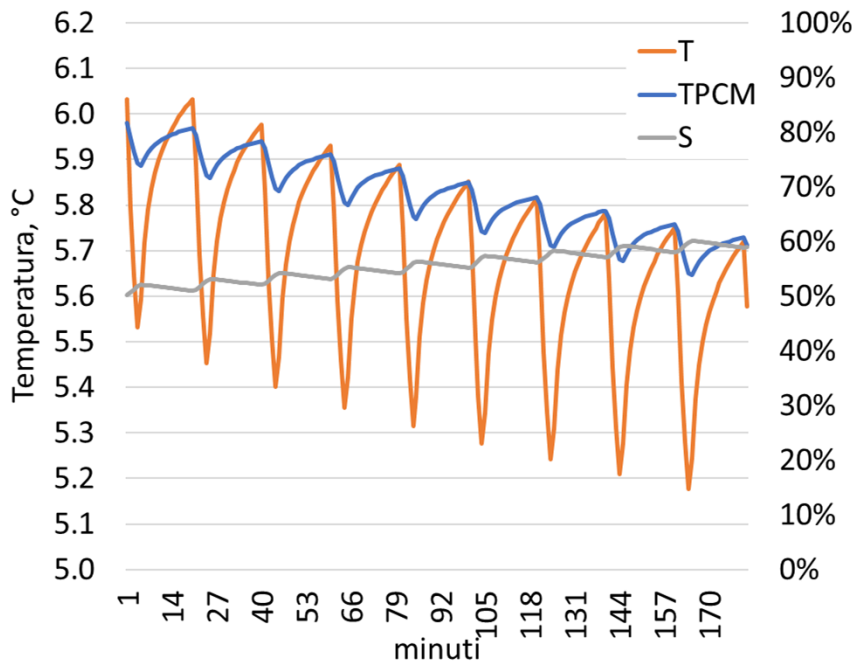


Prestazioni estive (5/5)



Questioni aperte

- segregazione dei sali idrati
- durabilità della miscelazione diretta
- conducibilità termica dei PCM
- accoppiamento (massa, prossimità)

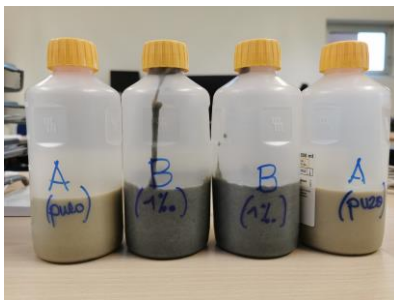
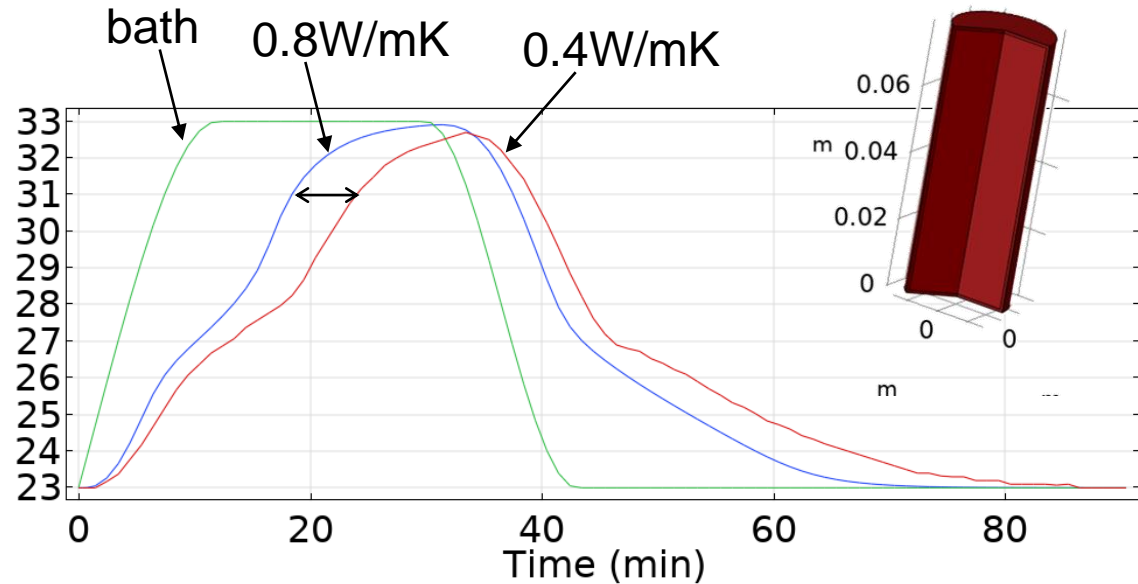
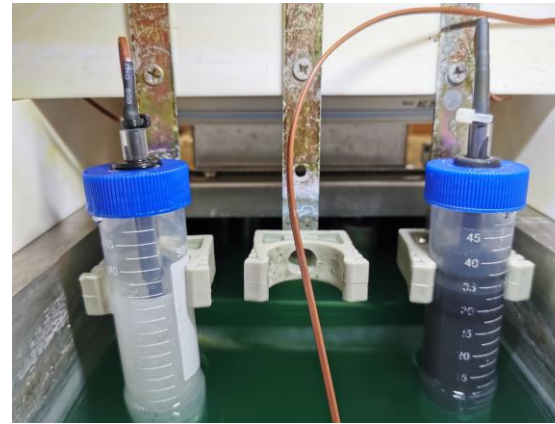


Conducibilità termica

La conducibilità è già stata raddoppiata con l'additivazione di grafene (0.8 W/mK)

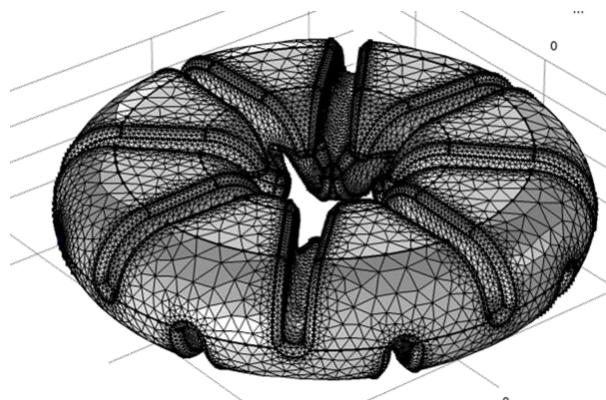
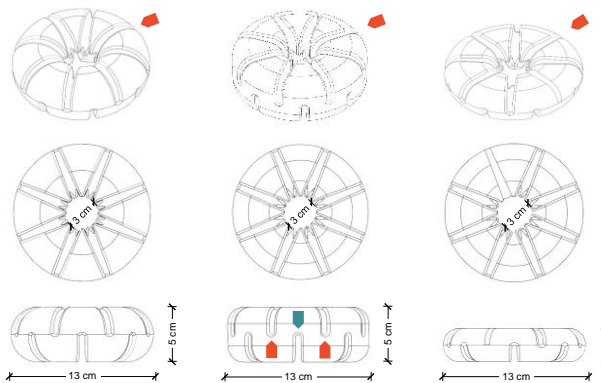
Gli obiettivi sono

- «trasparenza» termica rispetto al materiale di riferimento (sabbia)
- stabilizzazione della miscela PCM-grafene



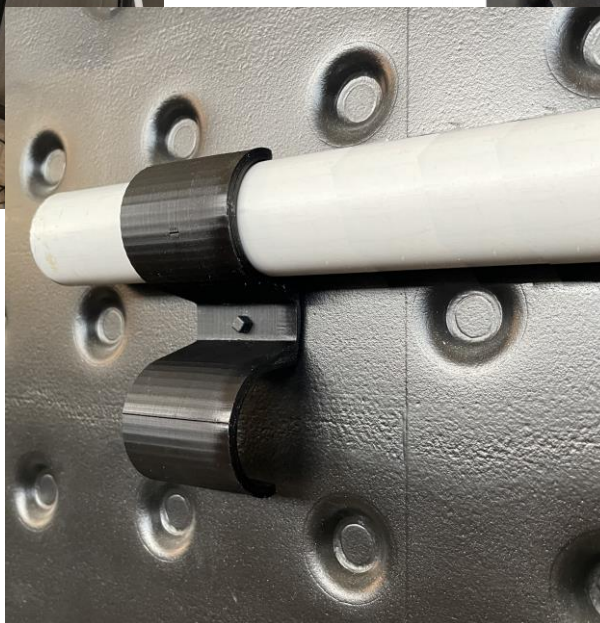
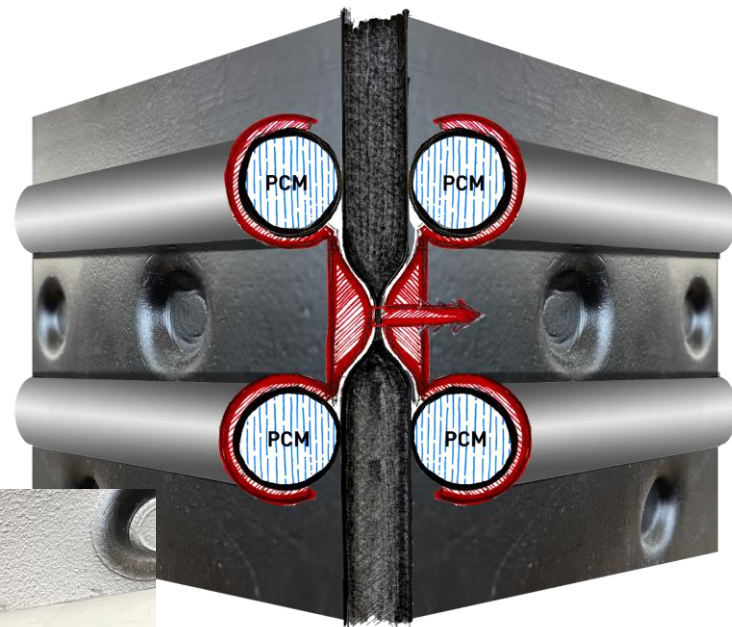
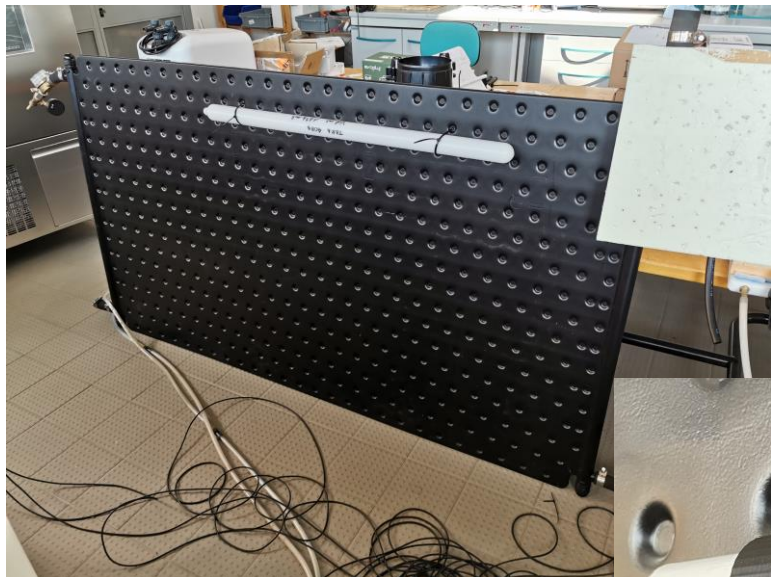
Accoppiamento per massa

- segregazione dei PCM
- superficie di scambio
- durabilità
- costo



AXIOTHERM®

Accoppiamento per prossimità



Prospettive

L'innovazione proposta è ancora poco esplorata, sebbene già applicata in altri settori.

L'opportunità rappresenta un vantaggio competitivo di filiera per tipologia d'offerta, prestazioni e know-how.

Le proposte testate a livello prototipale possono già costituire un punto di partenza per l'industrializzazione. Tuttavia, sono ancora da risolvere aspetti legati a:

- conducibilità termica
- segregazione
- affidabilità
- costo
- progettazione



Partenariati

Informazioni sulle ricerche, sulle tecnologie in fase di sviluppo e su iniziative in corso sono disponibili nei siti di progetto



<https://www.horizon2020ideas.eu/>



Laboratori e Centri per l'innovazione	Imprese partecipanti
TEKNEHUB - UNIFE	GALLETTI Spa
CIRI-EC - UNIBO	FASSA Srl
CIDEA - UNIPR	DELTA Engineering Srl
INTERMECH - UNIMORE	PACETTI Srl
LARCOICOS - Ri.Cos	Gruppo RITMO Srl
	COOPSERVICE Scpa



Università degli Studi di Cagliari



This project is funded by the European Union's Horizon 2020 research and innovation programme under grant agreement No. 815271

F71F18000160009



UNIONE EUROPEA Fondo europeo di sviluppo regionale



ALMA MATER STUDIORUM UNIVERSITÀ DI BOLOGNA CENTRO INTERDEPARTAMENTALE DI RICERCA INDUSTRIALE EDIZIONI E COSTRUZIONI



UNIMORE InterMech UNIVERSITÀ DEGLI STUDI DI MODENA E REGGIO EMILIA



Università degli Studi di Ferrara